

INF 5490 RF MEMS

F4: utfordringer ved RF kretsdesign

V2007, Oddvar Søråsen
Institutt for informatikk, UiO

Progresjon INF5490

- Bakgrunns-stoff
 - F1: Introduksjon. MEMS i RF
 - F2: Fremstilling
 - F3: Modellering, design og analyse
- Hovedtema i dagens forelesning:
Noen typiske trekk og utfordringer ved RF kretsdesign

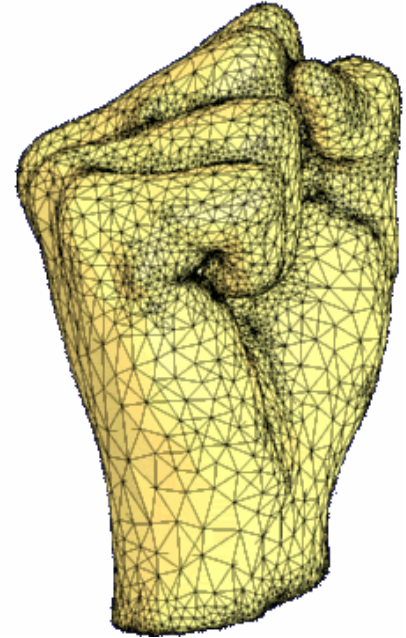
Dagens forelesning

- Analyse ved Finite Element Methods
 - (fra "Modellering, design og analyse")
- RF kretsdesign
 - Elektromagnetiske bølger
 - "Skin depth"
 - Passive komponenter ved høye frekvenser
- Transmisjonslinje-teori
- To-port nettverk
 - S-parametre
- Filtre
- Q-faktor

3. Analyse ved Finite Element Methods

- Typiske trekk
 - Oppdeling i små-elementer: "meshing"
 - Løse matematiske ligninger for interaksjonen mellom elementene
 - Mange iterasjoner utføres før stabil løsning oppnås
- + Mer realistiske resultater
 - Matematiske modeller er approksimasjoner
 - Utilstrekkelige ved komplekse sammenhenger og strukturer
 - Jmfr. bøyning av bjelke: ladningsfordeling \leftrightarrow kraft
- Bruk av FEM-simuleringer
 - CoventorWare
 - Eksempler fra modellering av bulk prosess \rightarrow

Finite Element Methods



- Features
 - + good precision
 - + coupled electrostatic/ mech interaction
 - + can cope with irregular topologies
 - - insight into parameters influence is lost
 - - only small parts are practical
- Critical issues
 - proper system selection, building the 3D model
 - partitioning (meshing) , simulation parameters

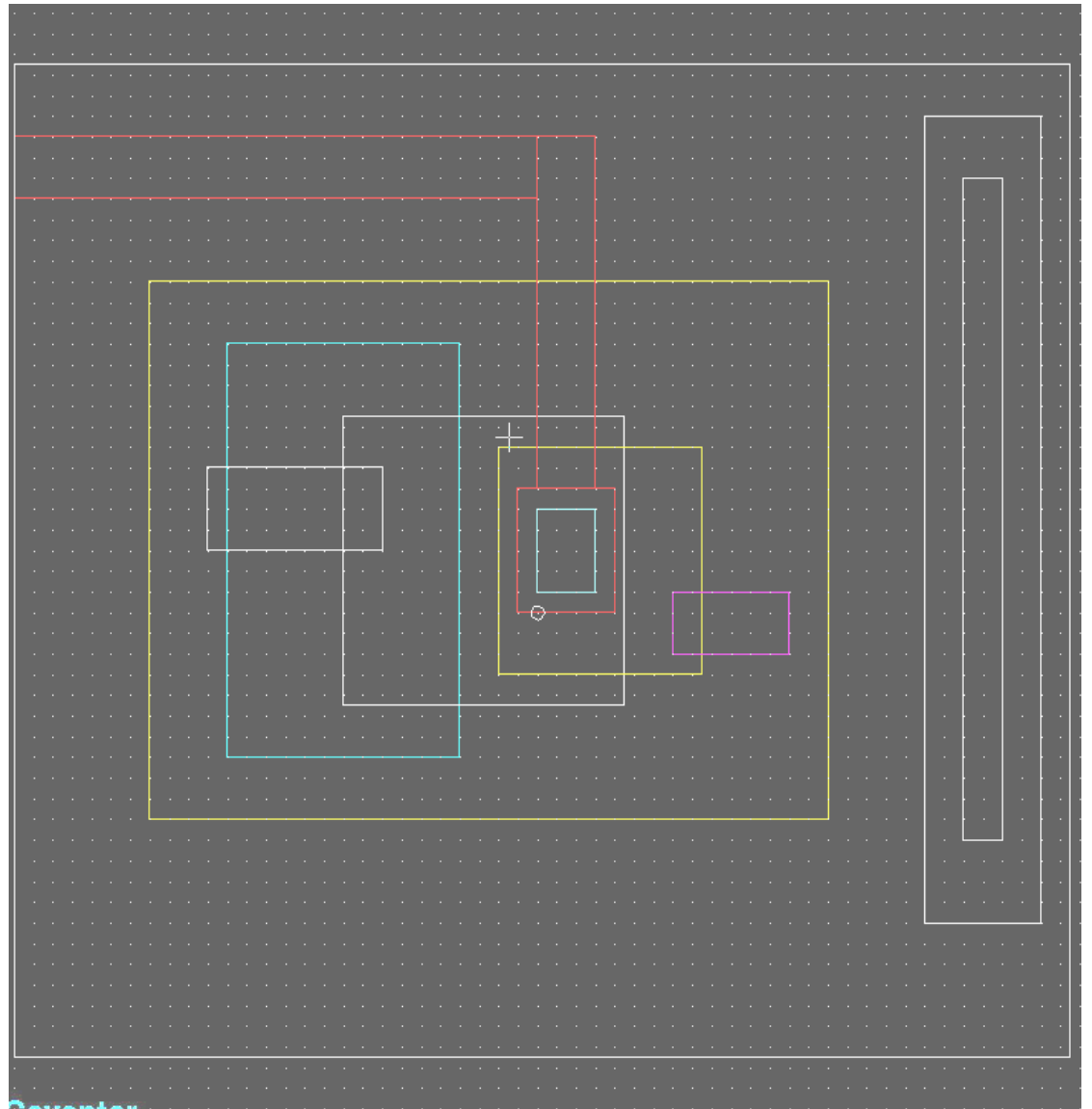
3D model building: process specification

Step	Action	Type	Layer Name	Material	Thic...	Color	Mask Name/ Polarity	Depth	Offset	Sidewall Angle	Comment
0	Base		Substrate	SILICON	10.0	blue	GND				
1	Etch	Back, Substr...				cyan	BETCH	- 10.0	0.0	0.0	
2	Deposit	Stacked	Layer1	SILICON	0.01	blue					
3	Deposit	Stacked	Layer2	SILICON	8.0	blue					
4	Etch	Front, Last L...				yellow	NOWEL	- 8.0	0.0	0.0	
5	Deposit	Planar	Layer3	SILICON	0.0	yellow					
6	Etch	Front, Partial				white	BUCON	- 4.0	0.0	0.0	
7	Etch	Front, Partial				pink	BURES	- 1.0	0.0	0.0	
8	Deposit	Planar	Layer4	SILICON	0.0	white					
9	Etch	Front, Partial				pink	BURES	- 1.0	0.0	0.0	
10	Deposit	Planar	Layer5	SILICON	0.0	pink					
11	Deposit	Stacked	Layer6	SILICON	3.0	green					
12	Etch	Front, Last L...				oran...	SUCON	- 3.0	0.0	0.0	
13	Etch	Front, Partial				mag...	SURES	- 1.0	0.0	0.0	
14	Deposit	Planar	Layer7	SILICON	0.0	oran...					
15	Etch	Front, Partial				mag...	SURES	- 1.0	0.0	0.0	
16	Deposit	Planar	Layer8	SILICON	0.0	mag...					
17	Etch	Front, By Depth				lemo...	NOSUR	- 1.0	0.0	0.0	
18	Deposit	Planar	Layer9	SILICON	0.0	gray					
19	Deposit	Stacked	Layer10	THERM_OXIDE	2.0	tan					
20	Etch	Front, Last L...				dlodg...	COHOL	- 2.0	0.0	0.0	
21	Etch	Front, Last L...				light...	NOBOA	- 2.0	0.0	0.0	
22	Deposit	Conformal	Layer11	ALUMINUM	1.0 ...	red					
23	Etch	Front, Last L...				red	MCOND	+ 1.0	0.0	0.0	

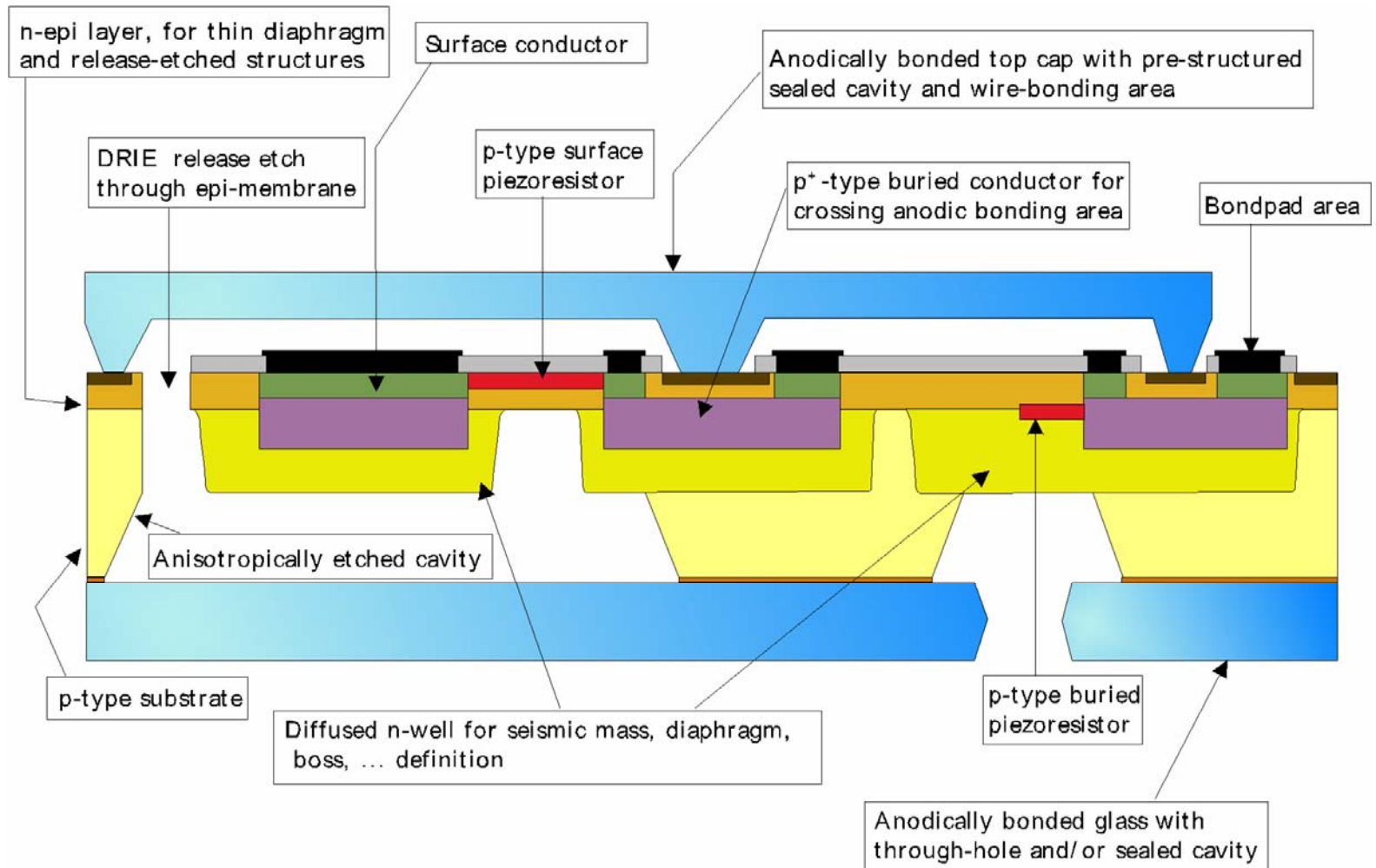
- Specify a **process file** which matches an actual foundry process
 - simplifications
 - realistic: essential process features included
- --> **pseudo layers**

3D model building: layout

Make accompanying
layout

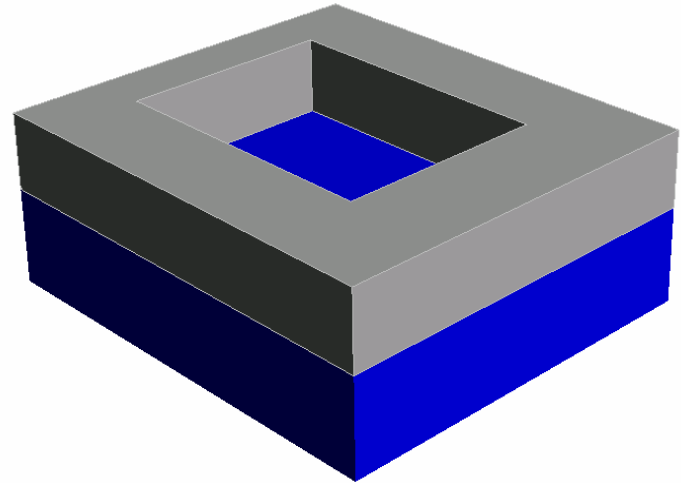


MultiMEMS, typical features



How to model the MultiMEMS bulk process in CoventorWare?

- Problem:
 - the process is not based on “stacking layers”
- Create a pseudo process!
 - simplified, but matching
 - transfer to a procedure of **stacking layers**
 - some layers with zero spacing
 - slicing the bulk material into sub-layers **in contact**
 - make etchings and re-fillings

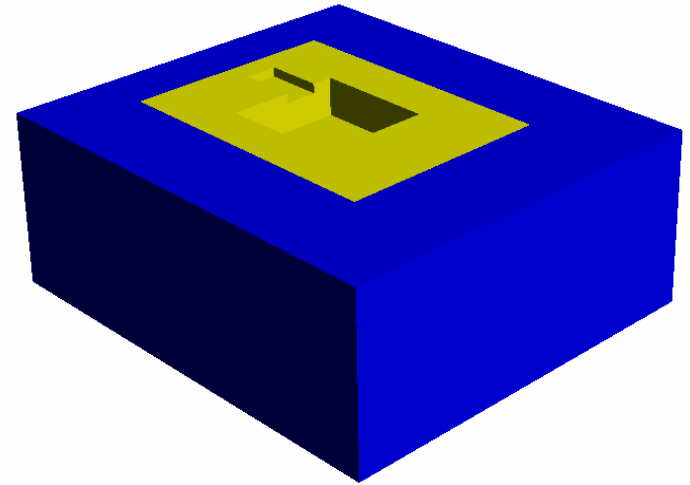


ProcessEditor: M:\Design_Files\testproject1\Devices\nlayers_c.proc

File Edit View Help

Step	Action	Type	Layer Name	Material	Thic...	Color	Mask Name/ Polarity	Depth	Offset	Sidewall Angle	Comment
0	Base		Substrate	SILICON	10.0	blue	GND				
1	Etch	Back, Substr...				cyan	BETCH	- 10.0	0.0	0.0	
2	Deposit	Stacked	Layer1	SILICON	0.01	blue					
3	Deposit	Stacked	Layer2	SILICON	8.0	blue					
4	Etch	Front, Last L...				yellow	NOWEL	- 8.0	0.0	0.0	

Two slices of the base material stacked. **N-well** opening



ProcessEditor: M:\Design_Files\testproject1\Devices\layers_c.proc

File Edit View Help

↑ ↓ [Color icons] [ENABLE/DISABLE] [X] [?]

Step	Action	Type	Layer Name	Material	Thic...	Color	Mask Name/ Polarity	Depth	Offset	Sidewall Angle	Comment
0	Base		Substrate	SILICON	10.0	blue	GND				
1	Etch	Back, Substr...				cyan	BETCH -	10.0	0.0	0.0	
2	Deposit	Stacked	Layer1	SILICON	0.01	blue					
3	Deposit	Stacked	Layer2	SILICON	8.0	blue					
4	Etch	Front, Last L...				yellow	NOWMEL -	8.0	0.0	0.0	
5	Deposit	Planar	Layer3	SILICON	0.0	yellow					
6	Etch	Front, Partial				white	BUCON -	4.0	0.0	0.0	
7	Etch	Front, Partial				pink	BURES -	1.0	0.0	0.0	

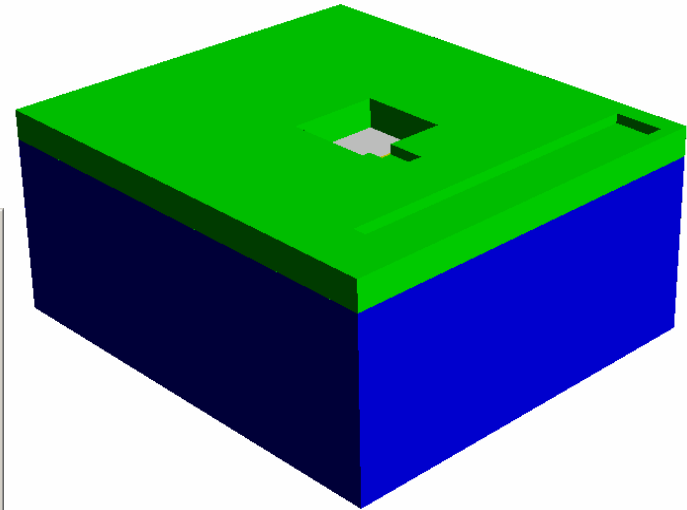
N-well in-filling. Etching holes for **buried conductor** implant and **buried resistor** implant

ProcessEditor: M:\Design_Files\testproject1\Devices\layers_c.proc

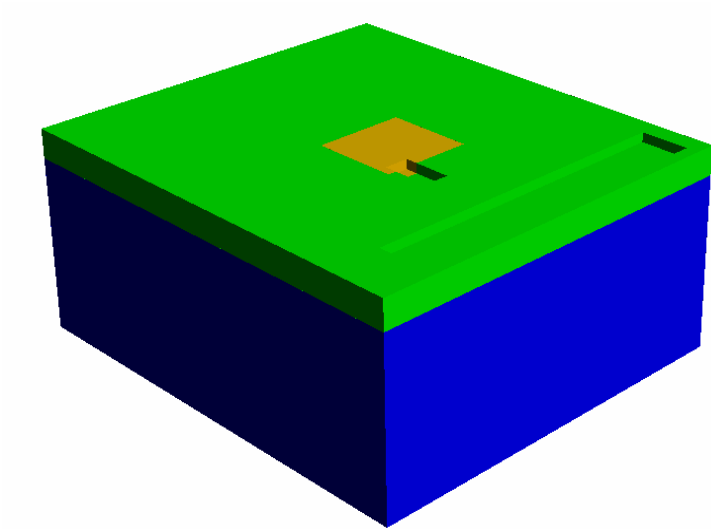
File Edit View Help

↑ ↓ [Color Swatches] [Enable/Disable] [Close] [Help]

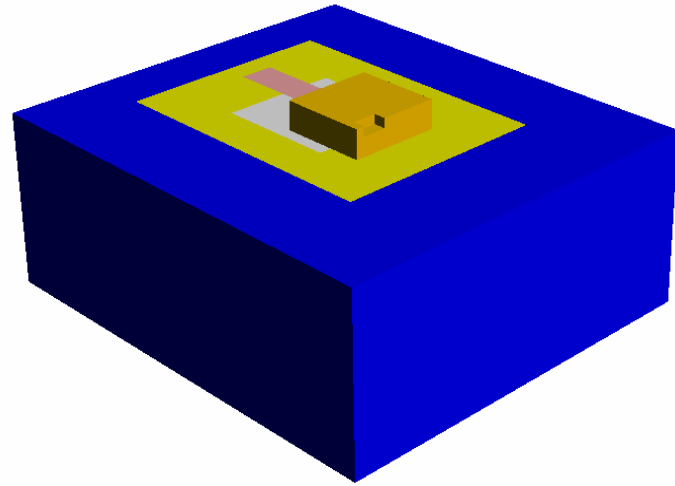
Step	Action	Type	Layer Name	Material	Thic...	Color	Mask Name/ Polarity	Depth	Offset	Sidewall Angle	Comment
0	Base		Substrate	SILICON	10.0	blue	GND				
1	Etch	Back, Substr...				cyan	BETCH -	10.0	0.0	0.0	
2	Deposit	Stacked	Layer1	SILICON	0.01	blue					
3	Deposit	Stacked	Layer2	SILICON	8.0	blue					
4	Etch	Front, Last L...				yellow	NOWEL -	8.0	0.0	0.0	
5	Deposit	Planar	Layer3	SILICON	0.0	yellow					
6	Etch	Front, Partial				white	BUCON -	4.0	0.0	0.0	
7	Etch	Front, Partial				pink	BURES -	1.0	0.0	0.0	
8	Deposit	Planar	Layer4	SILICON	0.0	white					
9	Etch	Front, Partial				pink	BURES -	1.0	0.0	0.0	
10	Deposit	Planar	Layer5	SILICON	0.0	pink					
11	Deposit	Stacked	Layer6	SILICON	3.0	green					
12	Etch	Front, Last L...				oran...	SUCON -	3.0	0.0	0.0	
13	Etch	Front, Partial				mag...	SURES -	1.0	0.0	0.0	
14	Deposit	Planar	Layer7	SILICON	0.0	oran...					
15	Etch	Front, Partial				mag...	SURES -	1.0	0.0	0.0	
16	Deposit	Planar	Layer8	SILICON	0.0	mag...					
17	Etch	Front, By Depth				lemo...	NOSUR -	1.0	0.0	0.0	



Add **epi-layer**. Etch holes for **surface conductor** and **surface resistor**, -fill in.
Etch hole for n+ implant. (Implants are invisible)

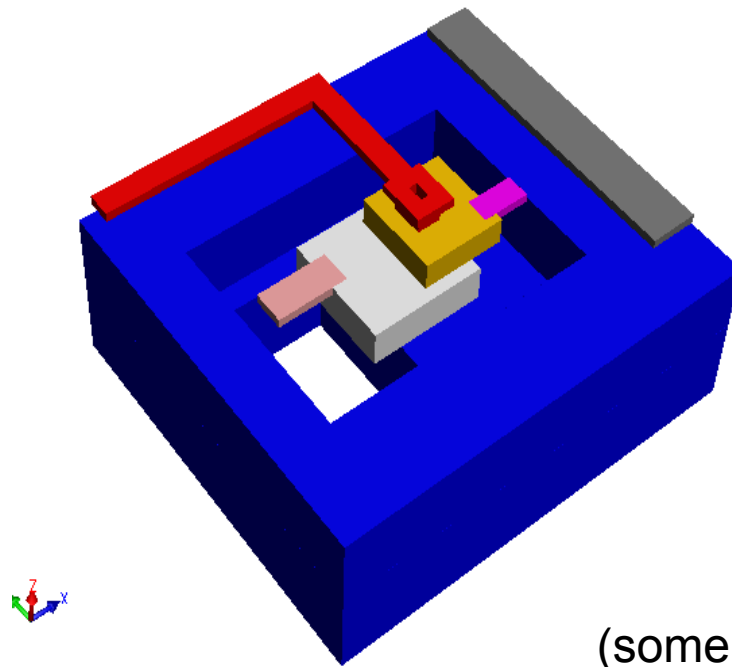


Surface conductor is made visible

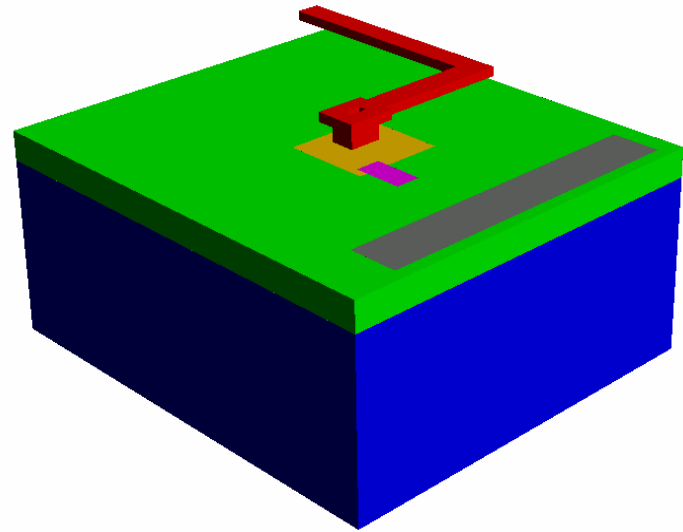
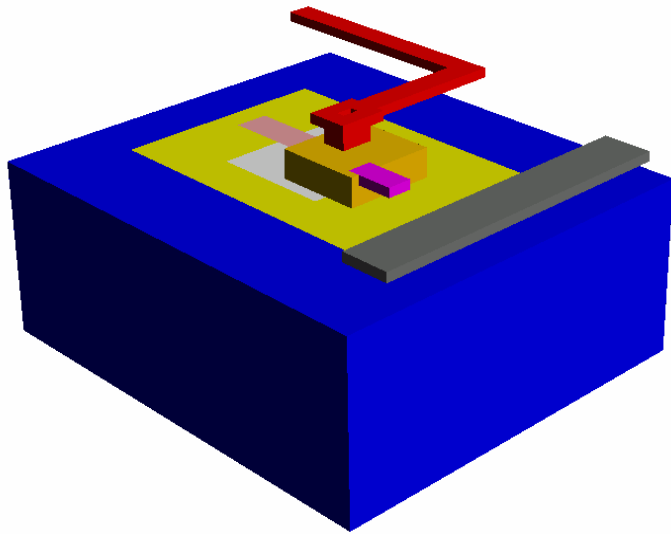


Epi-layer is invisible

3D model building: expansion



(some layers invisible)

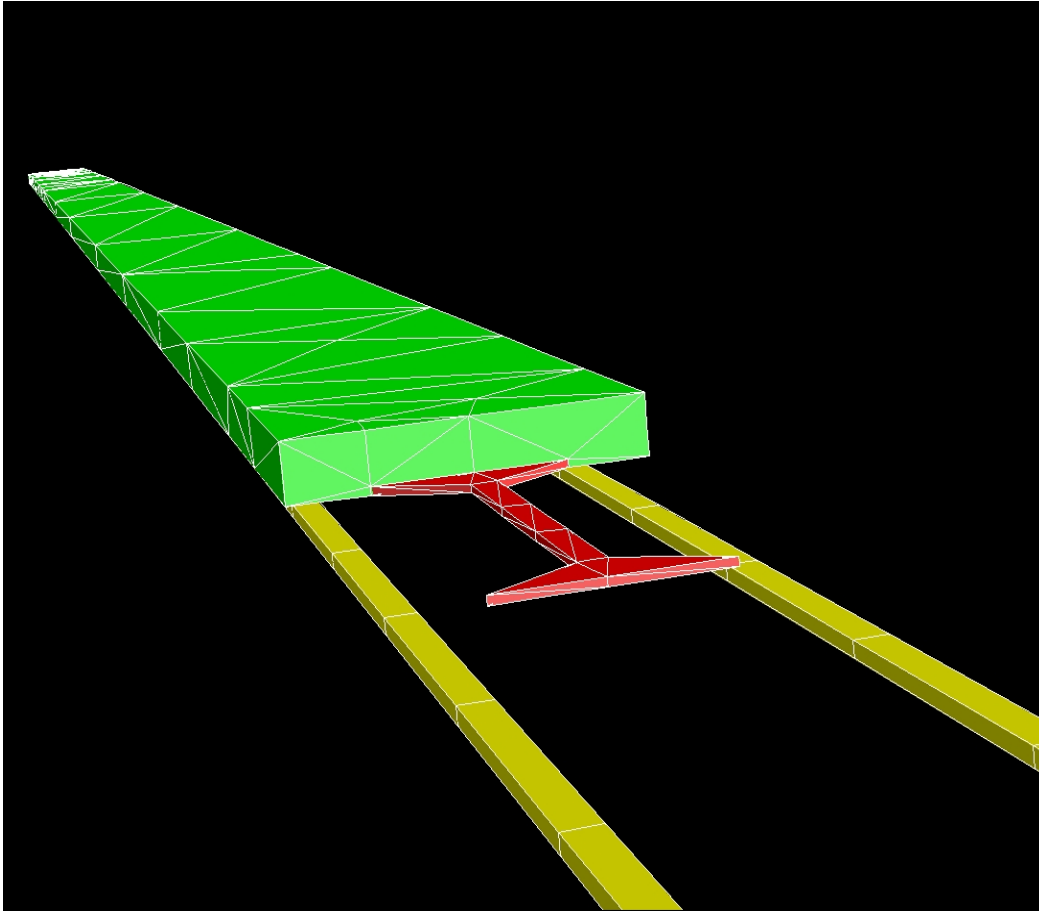


Complete structure with some layers made invisible

3D modelling procedure

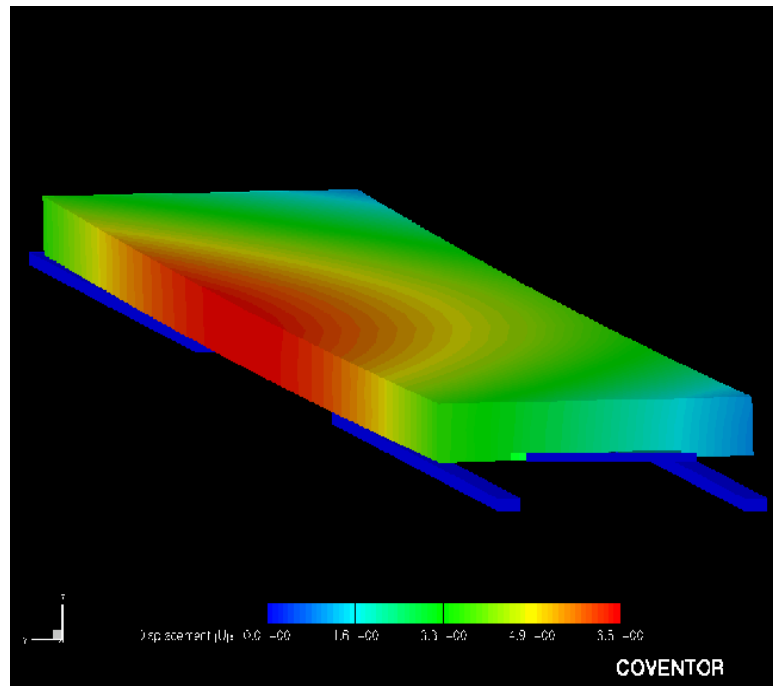
- To introduce one diffusion:
 - etch base material
 - fill in implanted material
 - **“deposit planar” with thickness = 0**
- To introduce multiple overlapping diffusions:
 - etch base material with all diffusion masks (the deepest first)
 - fill in the deepest implanted material
 - re-etch the remaining diffusion openings
 - fill in the next deepest implant etc.

Meshed model



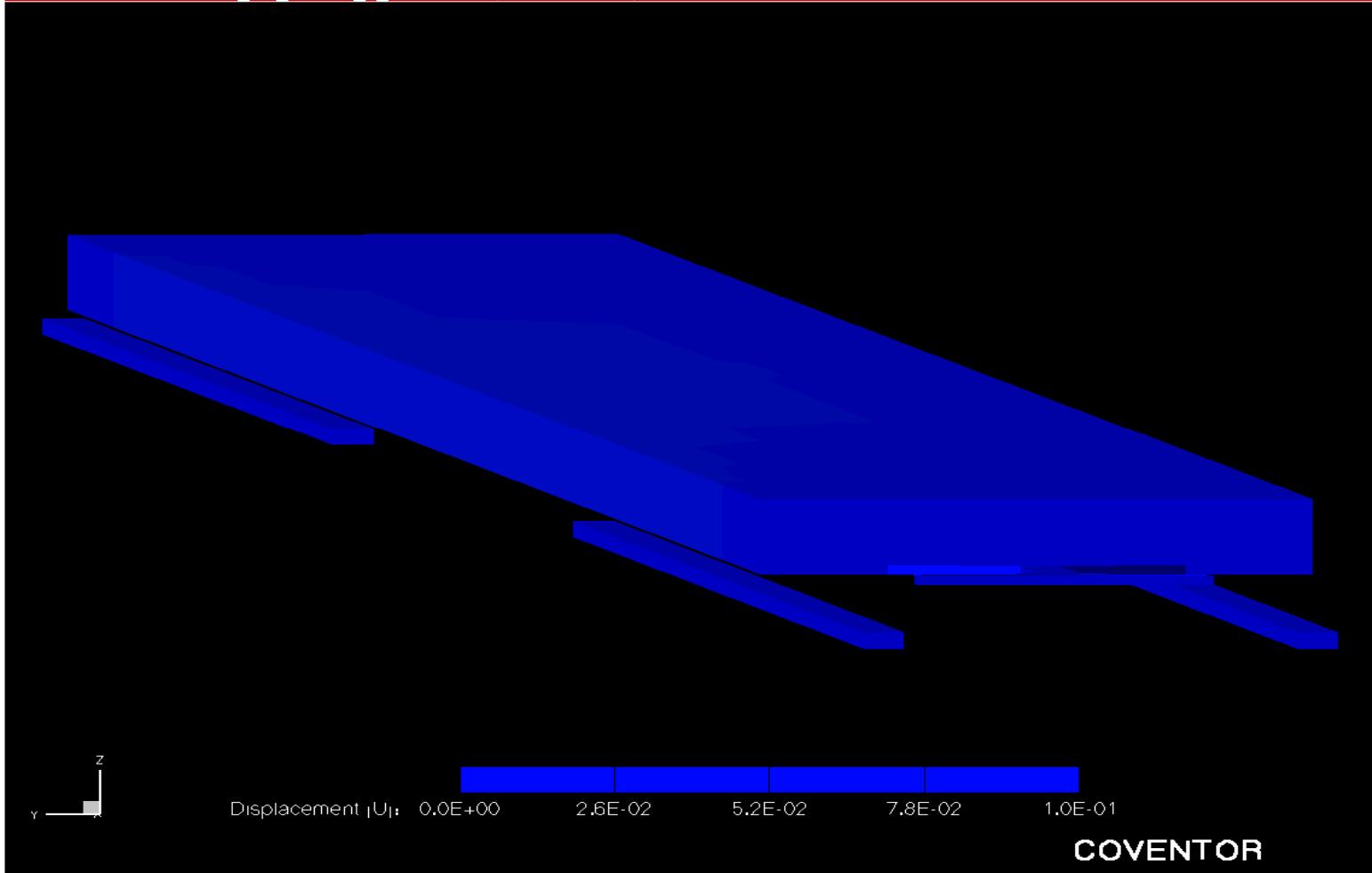
- Mirror meshed by tetrahedrons
 - 23 μm , 3 μm
- Electrodes meshed by Manhattan bricks
 - 5 μm
- Rather coarse dim due to pull-in analysis

Mirror deflection, snapshot



Simulation: pull-in

MemMech Results: mirror_ani_num/cs_1_mirror.mbif | 21 Nov 2003 | Coventor Data



Dagens forelesning

- Analyse ved Finite Element Methods
- RF kretsdesign
 - → "Multidisciplin"
 - Elektromagnetiske bølger
 - "Skin depth"
 - Passive komponenter ved høye frekvenser
- Transmisjonslinje-teori
- To-port nettverk
 - S-parametre
- Filtre
- Q-faktor

RF- og mikrobølge-design er ”multidisiplin”

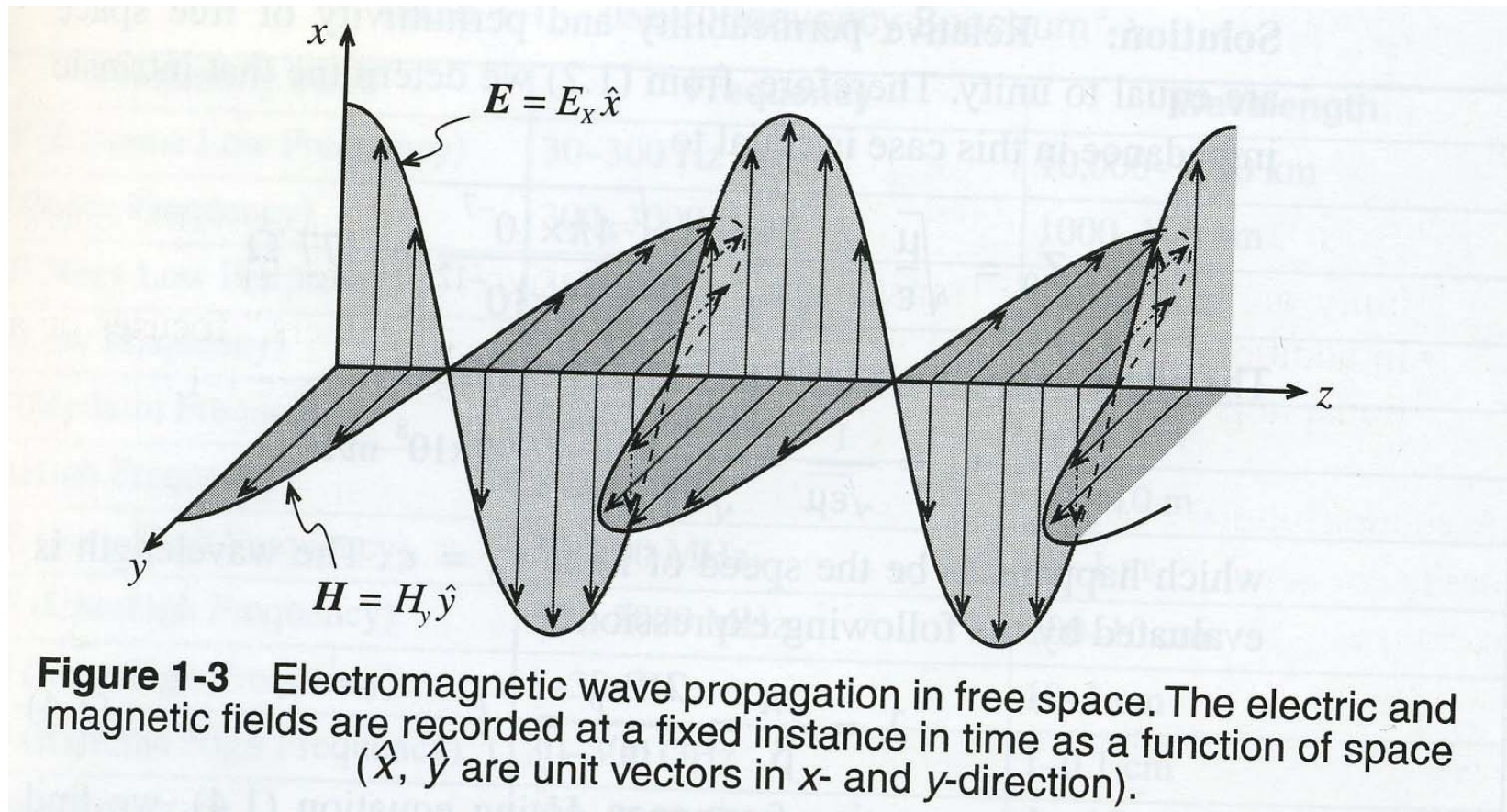
- Teoretisk fundament
 - Elektromagnetisme
 - Signalbehandling
- Teknologiske, praktiske aspekter
 - Krets-teori
 - Kirchhoffs lover for strøm og spenning
- Noe av stoffet i dag overlapper INF5480
 - RF-kretser, teori og design (Tor Fjeldly)
 - Her: → **Sentrale punkter på en forelesning!**

RF kretsdesign

- Sentrale spørsmål
 - Hvordan oppfører kretser seg ved høye frekvenser?
 - Hvorfor endrer funksjonaliteten til komponentene seg?
 - Ved hvilke frekvenser blir vanlig kretsanalyse ugyldig?
 - Hva slags ny krets-teori trengs?
 - Hvordan kan denne teorien brukes i praksis?
 - → *Figurer og ligninger fra R. Ludwig et al: "RF Circuit Design"*

Elektromagnetiske bølger

- Elektrisk og magnetisk felt



Sentrale bølgeparametre:

Elektrisk felt

$$E_x = E_{0x} \cos(\omega t - \beta z)$$

Magnetfelt

$$H_y = H_{0y} \cos(\omega t - \beta z)$$

Angular frekvens: ω

Propageringskonstant: β

Bølgen gjentar seg når: $\beta \cdot z = 2\pi$

Bølgelengde: $z = \lambda = \frac{2\pi}{\beta}$

Bølgen forplanter seg en avstand λ på en tid $T =$ perioden

Forplantningshastigheten:
(i vakuum: c)

$$v_p \cdot T = \lambda$$

$$v_p = \lambda \cdot \frac{1}{T} = \lambda \cdot f = \frac{2\pi}{\beta} \cdot \frac{\omega}{2\pi} = \frac{\omega}{\beta}$$

Sentrale bølgeparametre, forts.

Ved et gitt sted, dvs. $z = \text{konstant}$, gjentar bølgen seg etter perioden T :

$$\omega T = 2\pi \quad \text{og} \quad \omega = 2\pi / T = 2\pi f$$

der $f = \text{frekvensen}$

Frekvens og bølgelengde

- I vakuum: $\lambda * f = c$
 - Økende frekvens \rightarrow minkende bølgelengde
- Ved høye frekvenser (RF) er bølgelengden sammenlignbar med kretsdimensjonene
 - \rightarrow

Table 1-1 IEEE Frequency Spectrum

Frequency Band	Frequency	Wavelength
ELF (Extreme Low Frequency)	30–300 Hz	10,000–1000 km
VF (Voice Frequency)	300–3000 Hz	1000–100 km
VLF (Very Low Frequency)	3–30 kHz	100–10 km
LF (Low Frequency)	30–300 kHz	10–1 km
MF (Medium Frequency)	300–3000 kHz	1–0.1 km
HF (High Frequency)	3–30 MHz	100–10 m
VHF (Very High Frequency)	30–300 MHz	10–1 m
UHF (Ultrahigh Frequency)	300–3000 MHz	100–10 cm
SHF (Superhigh Frequency)	3–30 GHz	10–1 cm
EHF (Extreme High Frequency)	30–300 GHz	1–0.1 cm
Decimillimeter	300–3000 GHz	1–0.1 mm
P Band	0.23–1 GHz	130–30 cm
L Band	1–2 GHz	30–15 cm
S Band	2–4 GHz	15–7.5 cm
C Band	4–8 GHz	7.5–3.75 cm
X Band	8–12.5 GHz	3.75–2.4 cm
Ku Band	12.5–18 GHz	2.4–1.67 cm
K Band	18–26.5 GHz	1.67–1.13 cm
Ka Band	26.5–40 GHz	1.13–0.75 cm
Millimeter wave	40–300 GHz	7.5–1 mm
Submillimeter wave	300–3000 GHz	1–0.1 mm

To sentrale lover

- **Faradays lov**
 - Varierende **magnetfelt** induserer **strøm**
- **Amperes lov**
 - **Strøm** som flyter setter opp **magnetfelt**

Faradays lov

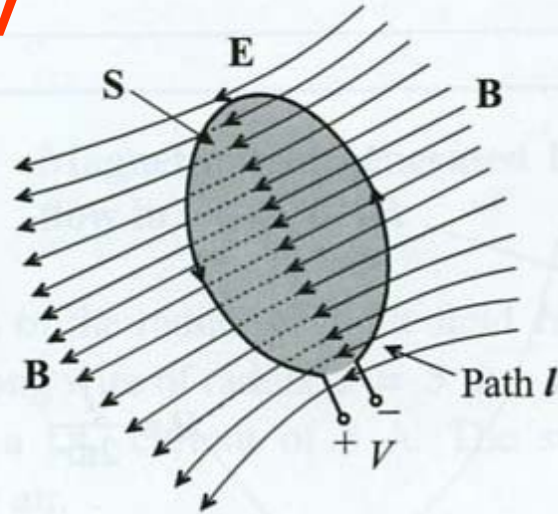


Figure 2-15 The time rate of change of the magnetic flux density induces a voltage.

$$\oint \bar{E} \cdot d\bar{l} = -\frac{d}{dt} \iint \bar{B} \cdot d\bar{S}$$

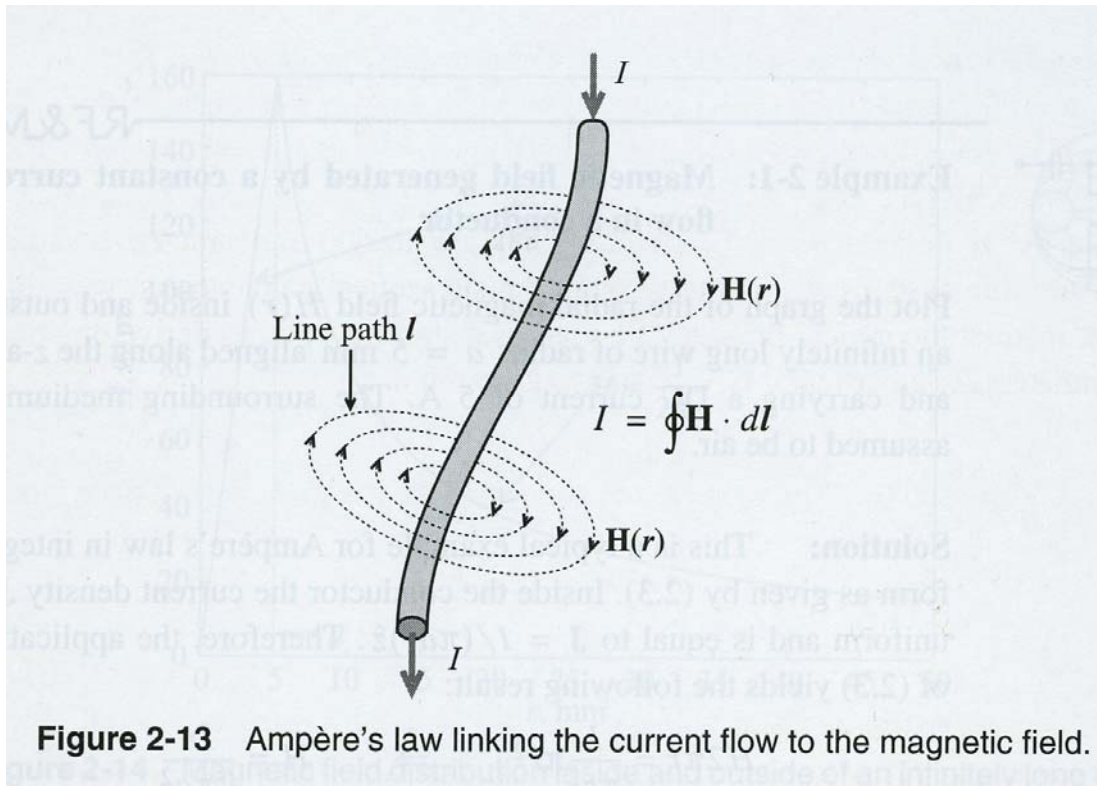
\bar{B} = magnetisk fluks – tetthet

$$\bar{B} = \mu \cdot \bar{H}$$

$$\mu = \text{permeabilitet} = \mu_0 \cdot \mu_r$$

\bar{H} = magnetfelt

Ampere's law



$$I = \oint \bar{H} \cdot d\bar{l} = \iint \bar{J} \cdot d\bar{S}$$

”Skin depth”

- Signaloverføring ved økende frekvens
 - **DC** signal:
 - Hele tverrsnittet leder strøm
 - **AC** signal:
 - Varierende strøm induserer et vekslende magnetfelt ([Amperes lov](#))
 - Magnetfeltet er sterkest når radius er liten
 - Størst tidsvariasjon av magnetfeltet når en nærmer seg sentrum
 - Varierende magnetfelt induserer et elektrisk felt ([Faradays lov](#))
 - Det induserte elektriske feltet (som motvirker det opprinnelige) øker i styrke mot midten av ledere

Skin depth, forts.

- Motstanden R øker mot sentrum av lederen
 - Strømmen flyter i **ytterkantene** ved økende frekvens
 - Formel: "skin-depth" →
 - Betegner reduksjon i strømtettheten til $1/e$
- Hva betyr denne effekten i praksis? →

$$\delta = (\pi f \mu \sigma_{\text{cond}})^{-1/2}$$

"Skin-depth"

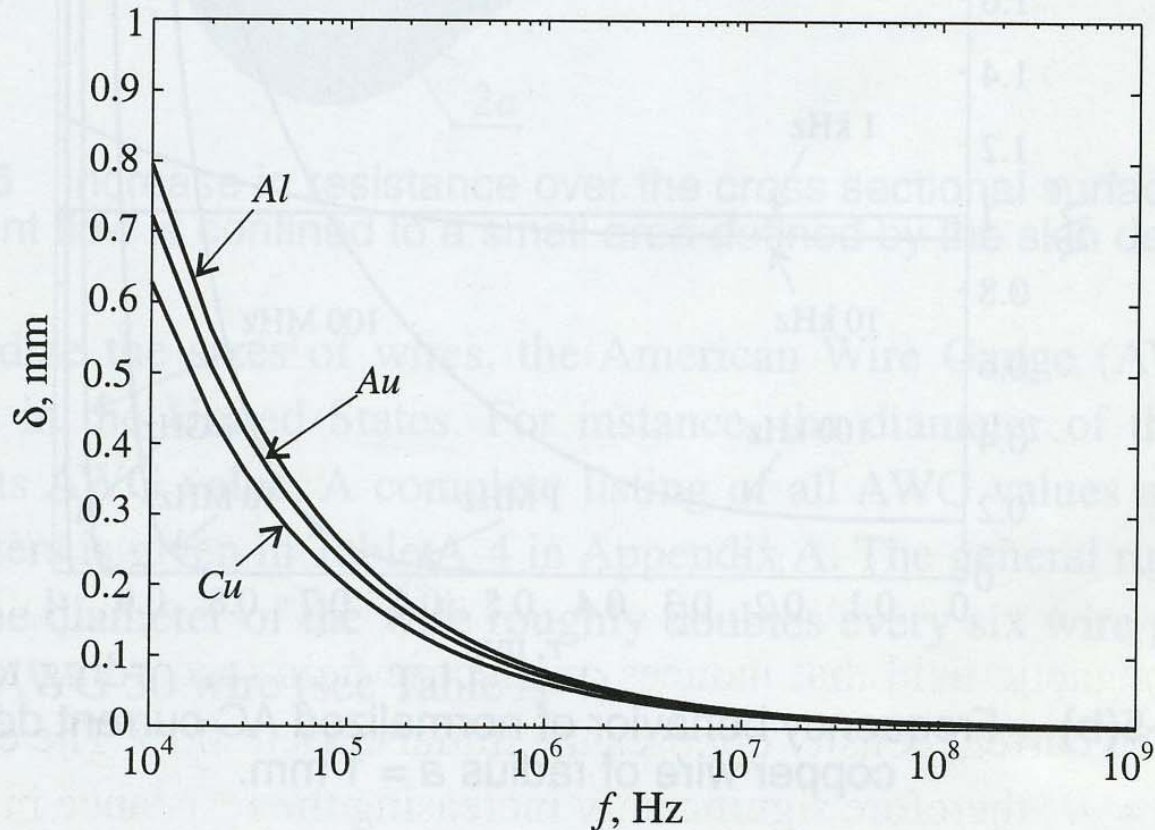


Figure 1-4 Skin depth behavior of copper $\sigma_{Cu} = 64.516 \times 10^6$ S/m, aluminum $\sigma_{Al} = 40.0 \times 10^6$ S/m, and gold $\sigma_{Au} = 48.544 \times 10^6$ S/m.

Strømtetthet ved ulike frekvenser

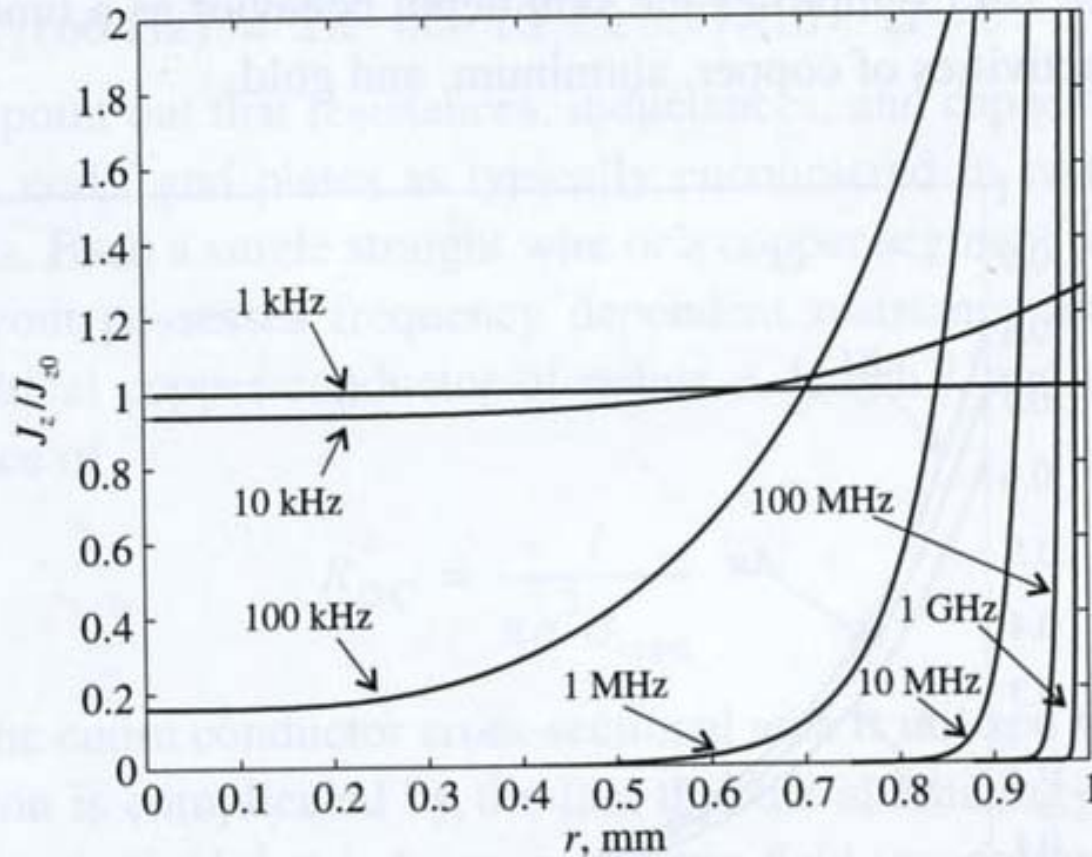


Figure 1-5(b) Frequency behavior of normalized AC current density for a copper wire of radius $a = 1$ mm.

Passive komponenter ved høye frekvenser

- Ekvivalentkrets for resistor

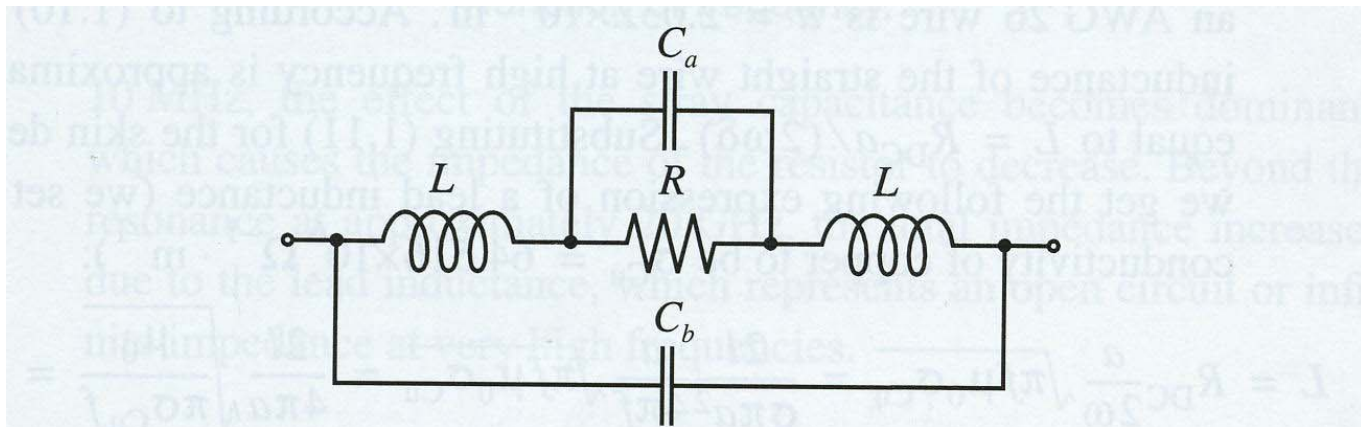
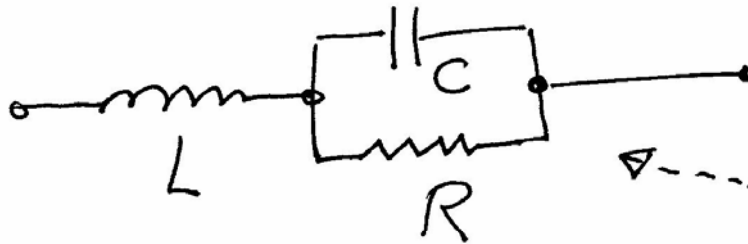


Figure 1-8 Electric equivalent circuit representation of the resistor.

Beregning av resistor-impedans

Forenklet modell:

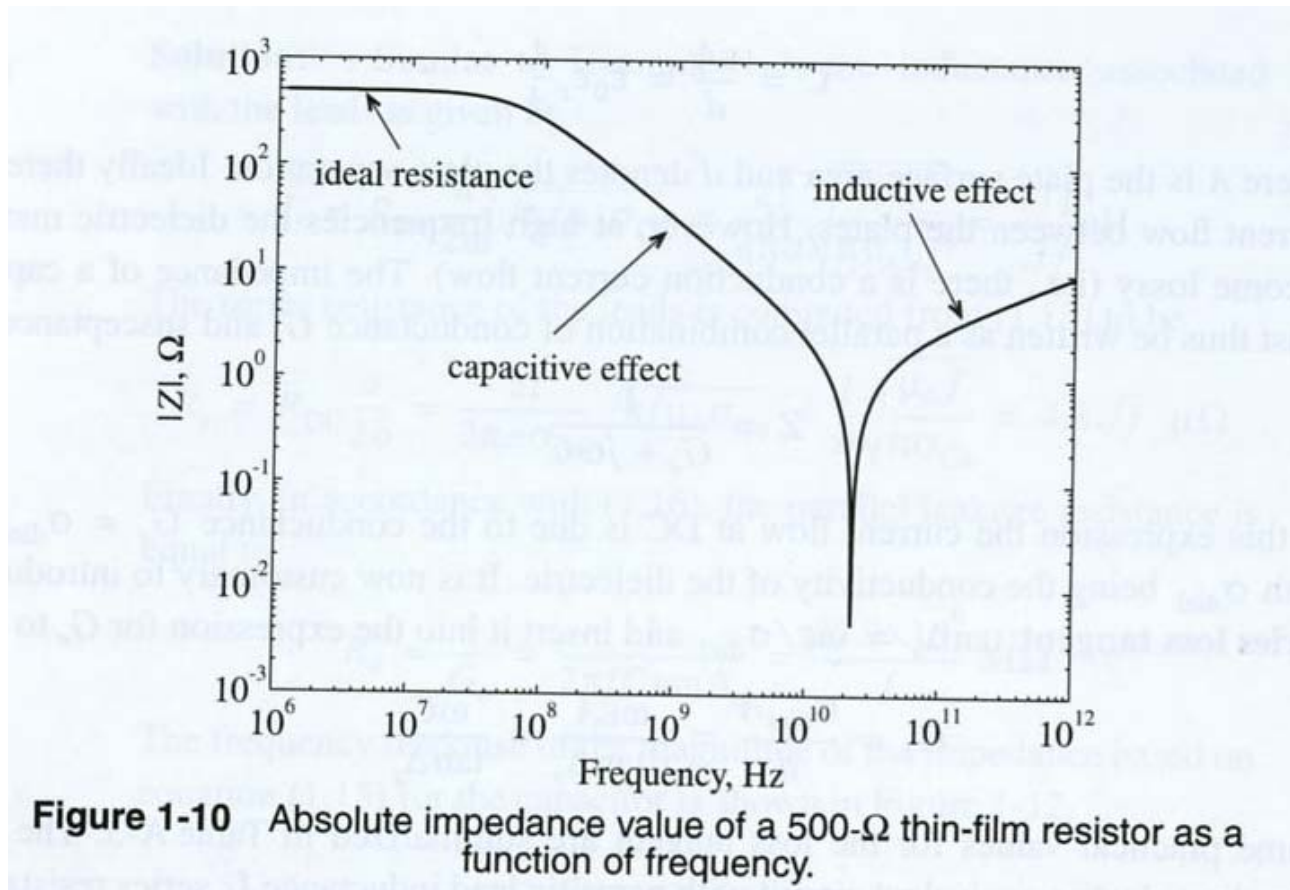


$$G = \frac{1}{R} + sC$$

$$z = sL + \frac{1}{\frac{1}{R} + sC} = sL + \frac{R}{1 + sRC}$$

$$z(j\omega) = j\omega L + \frac{R}{1 + j\omega RC}$$

Impedans som funksjon av f



Drøfting :

$$z(j\omega) \rightarrow R, \text{ når } \omega \rightarrow 0$$

$$z(j\omega) \rightarrow j\omega L, \text{ når } \omega \rightarrow \infty$$

Resonans når leddene er motsatt like store

$$sL = -\frac{R}{1 + sRC}$$

$$LRCs^2 + Ls + R = 0$$

$$s^2 + \frac{1}{RC}s + \frac{1}{LC} = 0$$

$$s = -\frac{1}{2RC} \pm j\sqrt{\frac{1}{LC} - \frac{1}{4R^2C^2}}$$

Høyfrekvens kapasitans

- Ekvivalentsskjema

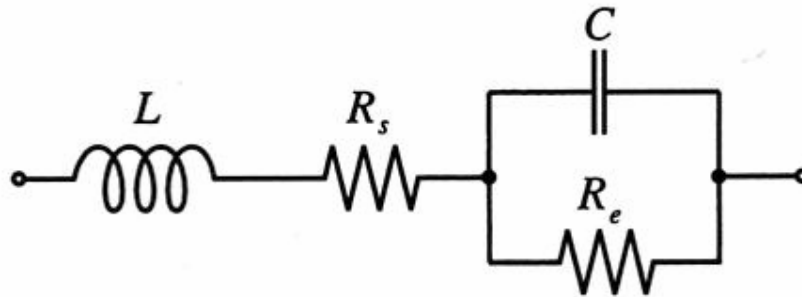


Figure 1-11 Electric equivalent circuit for a high-frequency capacitor.

Impedans som funksjon av f

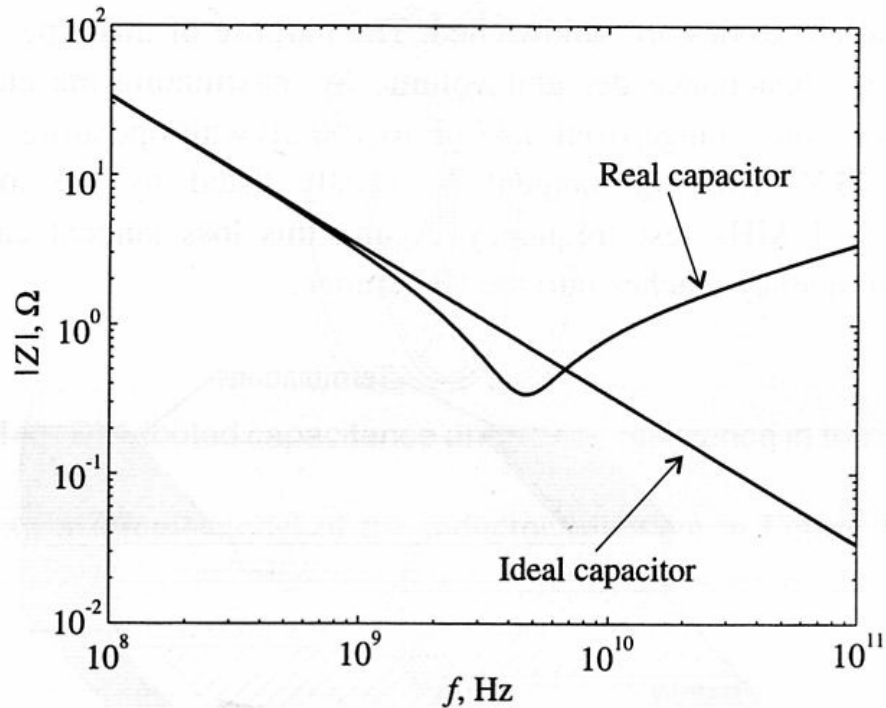


Figure 1-12 Absolute value of the capacitor impedance as a function of frequency.

Høyfrekvens induktans

- Ekvivalentskjema

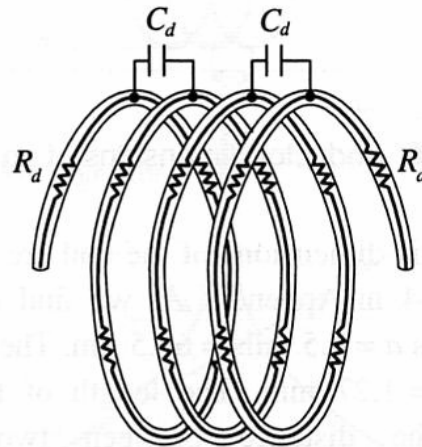


Figure 1-14 Distributed capacitance and series resistance in the inductor coil.

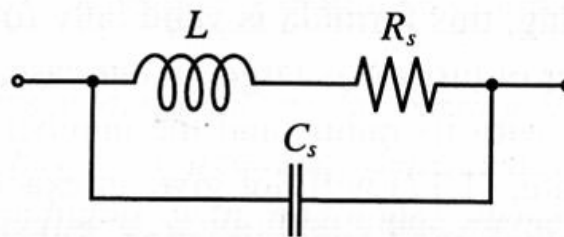


Figure 1-15 Equivalent circuit of the high-frequency inductor.

Impedans som funksjon av f

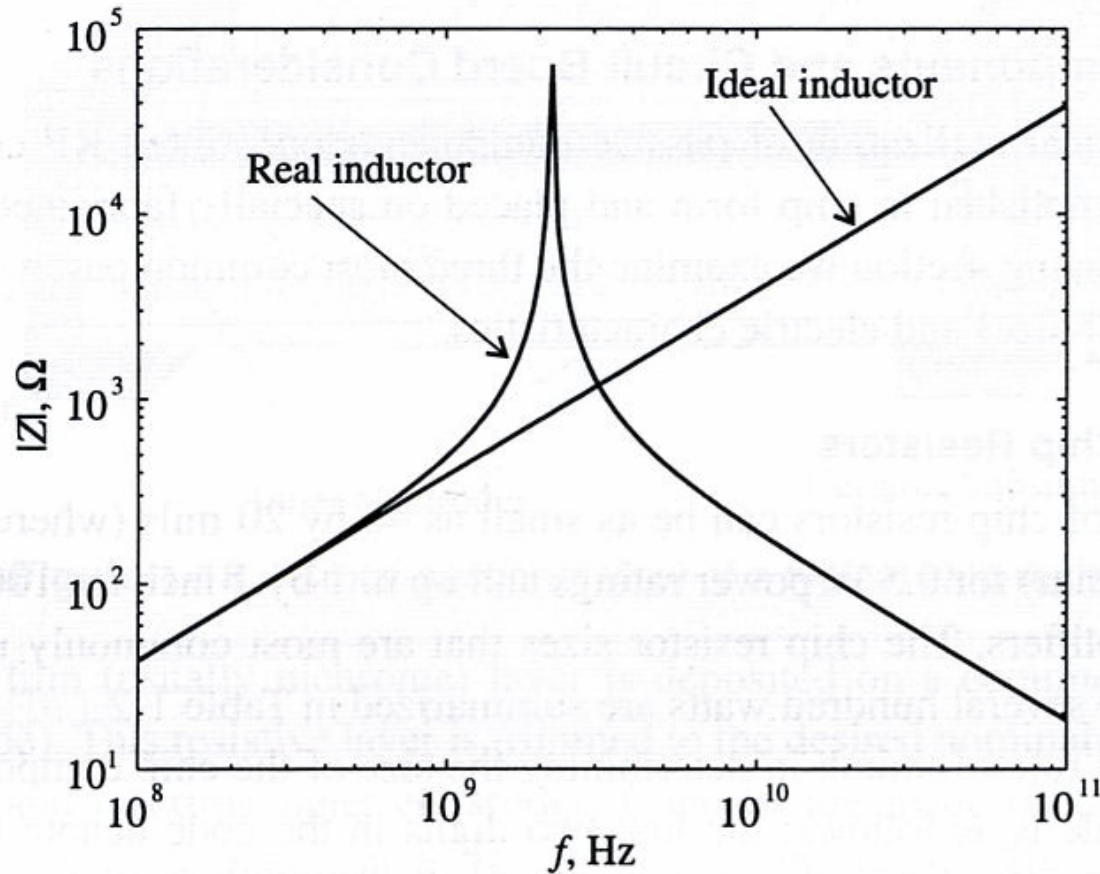


Figure 1-17 Frequency response of the impedance of an RFC.

Transmisjonslinje-teori

- Frekvens øker \rightarrow bølgelengde avtar (λ)
- Når λ blir sammenlignbar med komponentstørrelsen, vil en oppleve et **spenningsfall over komponenten!!**
 - Strøm og spenning har ikke en konstant verdi
- Spenning og strøm oppfører seg som **bølger** som utbrer seg i ledere og komponenter
 - De har derfor en verdi som avhenger av hvor en måler \rightarrow
 - Signalene må utbres ved **transmisjonslinjer**
 - Må ta hensyn til **refleksjoner, karakteristiske impedanser**

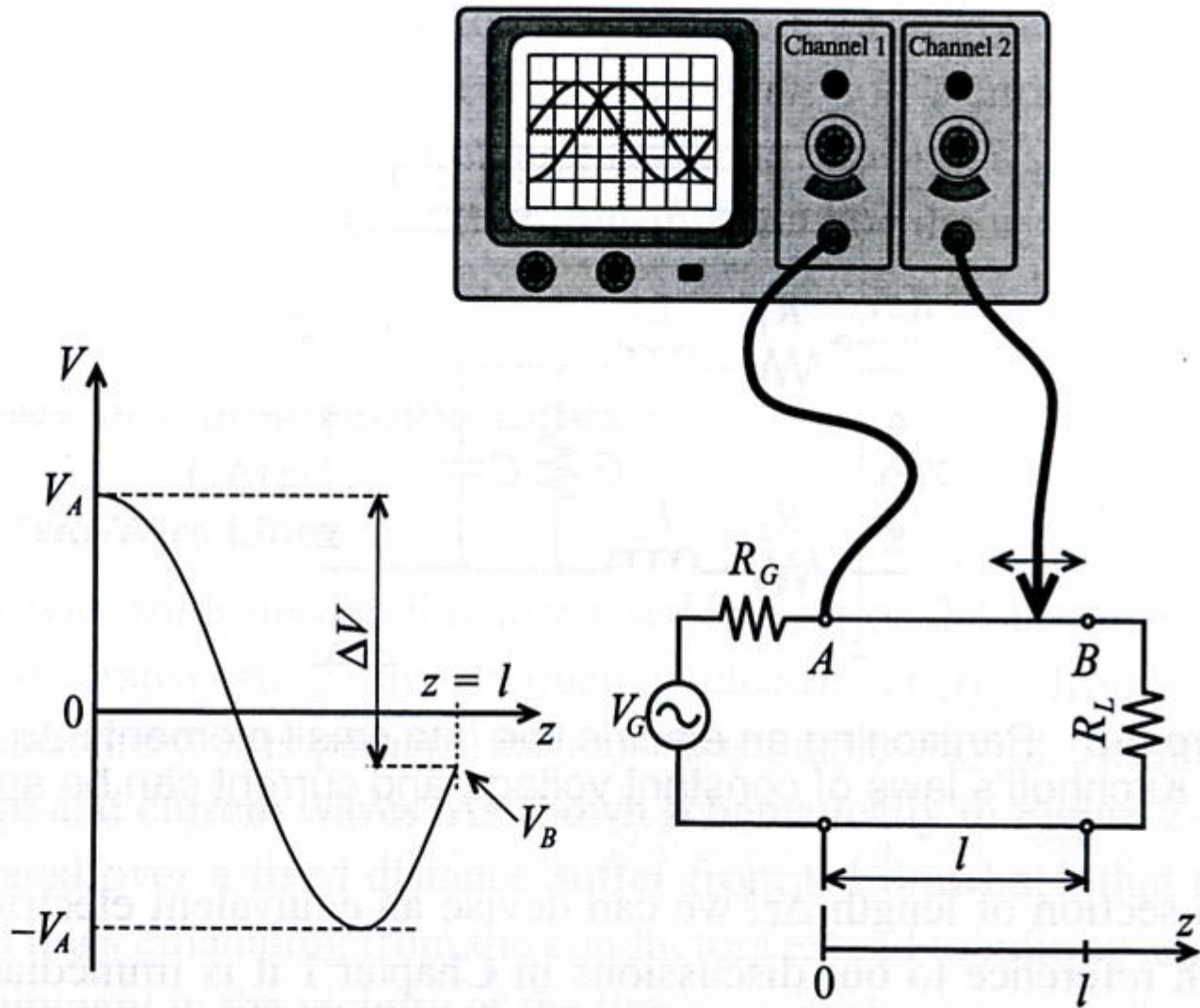


Figure 2-2 Amplitude measurements of 10 GHz voltage signal at the beginning (location A) and somewhere in between a wire connecting load to source.

Transmisjonslinje

- En leder kan modelleres som en transmisjonslinje

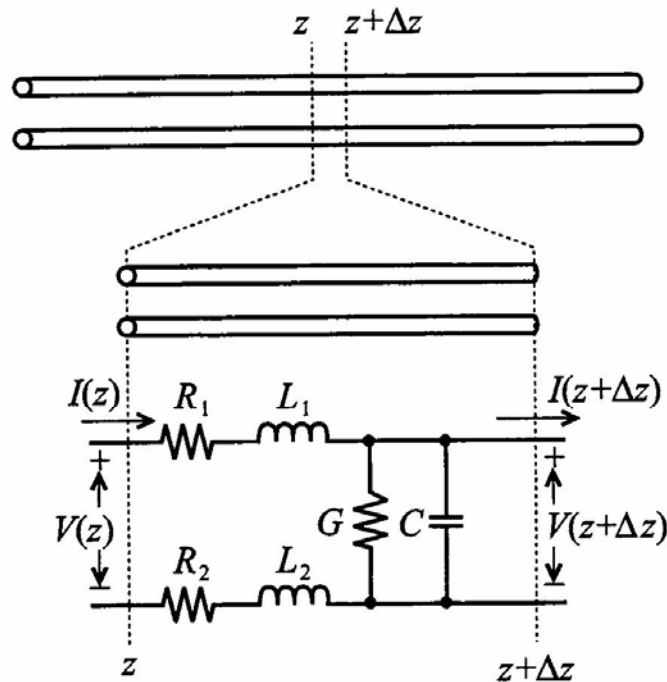


Figure 2-3 Partitioning an electric line into small elements Δz over which Kirchhoff's laws of constant voltage and current can be applied.

Kan deles opp i infinitesimale sub- enheter

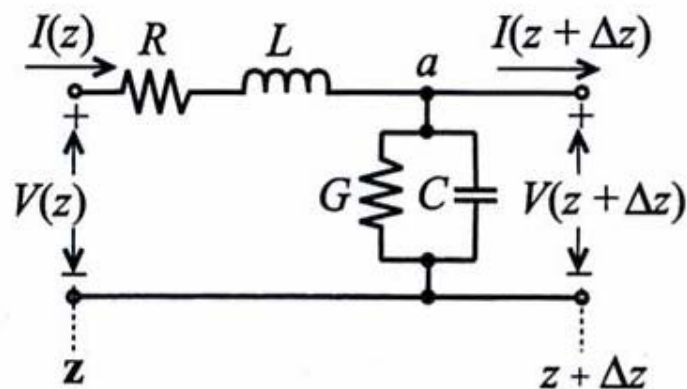


Figure 2-17 Segment of a transmission line with voltage loop and current node.

Benytte Kirchhoffs lover

- Gir 2 koblede 1.ordens diff-ligninger

$$(R + j\omega L)I(z)\Delta z + V(z + \Delta z) = V(z) \quad (2.26)$$

$$\lim_{\Delta z \rightarrow 0} \left(-\frac{V(z + \Delta z) - V(z)}{\Delta z} \right) = -\frac{dV(z)}{dz} = (R + j\omega L)I(z) \quad (2.27)$$

$$-\frac{dV(z)}{dz} = (R + j\omega L)I(z) \quad (2.28)$$

$$I(z) - V(z + \Delta z)(G + j\omega C)\Delta z = I(z + \Delta z) \quad (2.29)$$

$$\lim_{\Delta z \rightarrow 0} \frac{I(z + \Delta z) - I(z)}{\Delta z} = \frac{dI(z)}{dz} = -(G + j\omega C)V(z) \quad (2.30)$$

$$\frac{d^2 V(z)}{dz^2} - k^2 V(z) = 0 \quad (2.31)$$

$$k = k_r + jk_i = \sqrt{(R + j\omega L)(G + j\omega C)} \quad (2.32)$$

$$\frac{d^2 I(z)}{dz^2} - k^2 I(z) = 0 \quad (2.33)$$

Løsning: 2 bølger

- Løsningen er bølger i **positiv** og **negativ** retning

$$V(z) = V^+ e^{-kz} + V^- e^{+kz} \quad (2.34)$$

$$I(z) = I^+ e^{-kz} + I^- e^{+kz} \quad (2.35)$$

$$I(z) = \frac{k}{(R + j\omega L)} (V^+ e^{-kz} - V^- e^{+kz}) \quad (2.36) \quad (\text{Jmfr.2.27})$$

Karakteristisk linje-impedans: $Z_0 = \frac{V^+}{I^+} = -\frac{V^-}{I^-}$

$$Z_0 = \frac{(R + j\omega L)}{k} = \sqrt{\frac{(R + j\omega L)}{(G + j\omega C)}} \quad (2.37)$$

Impedans ved **tapsfri** transmisjonslinje

$$Z_0 = \sqrt{L/C}$$

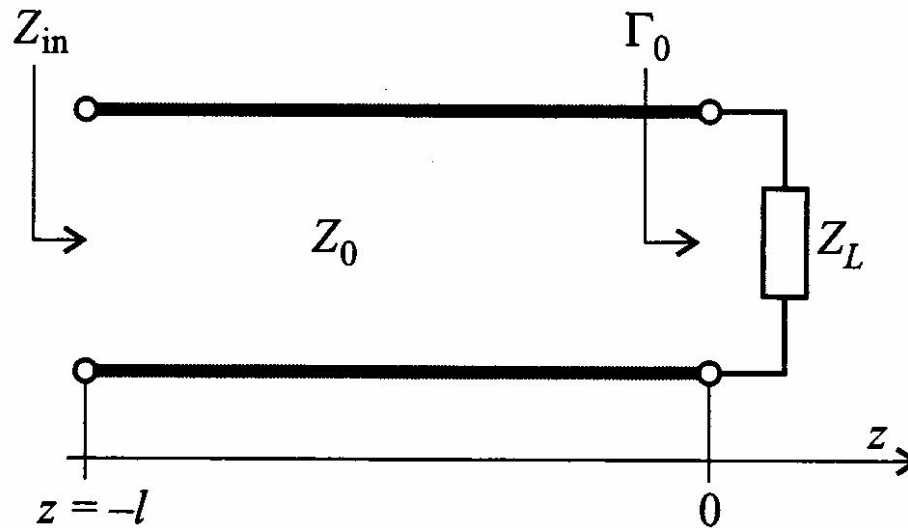


Figure 2-23 Terminated transmission line at location $z = 0$.

Refleksjon

- Hvordan hindre refleksjoner og sørge for god signalforplantning?
- Definisjon av **refleksjonskoeffisient** →

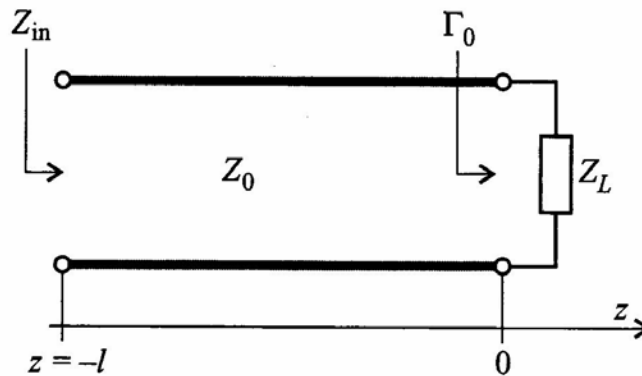


Figure 2-23 Terminated transmission line at location $z = 0$.

Refleksjonskoeffisient

$$\Gamma_0 = \frac{V^-}{V^+} \quad \leftarrow \text{definisjon av refleksjonskoeffisient i } z = 0$$

$$V(z) = V^+ (e^{-kz} + \Gamma_0 \cdot e^{+kz})$$

$$I(z) = \frac{V^+}{Z_0} (e^{-kz} - \Gamma_0 \cdot e^{+kz})$$

Impedans i $z = 0$:

$$Z(0) = \frac{V(0)}{I(0)} = Z_0 \frac{1 + \Gamma_0}{1 - \Gamma_0} = Z_L \quad = \text{lastimpedansen}$$

$$\Gamma_0 = \frac{Z_L - Z_0}{Z_L + Z_0}$$

Ulike termineringer

$$\Gamma_0 = \frac{Z_L - Z_0}{Z_L + Z_0}$$

Åpen linje

→ refleksjon med lik polaritet

$$Z_L = \infty \Rightarrow \Gamma_0 = 1$$

Kortslutning

→ refleksjon med invers polaritet

$$Z_L = 0 \Rightarrow \Gamma_0 = -1$$

Ingen refleksjon når:

$$Z_0 = Z_L \Rightarrow \Gamma_0 = 0$$

→ "MATCHING"

Stående bølger

- Kortsluttet krets gir stående bølger ($Z_L = 0$)

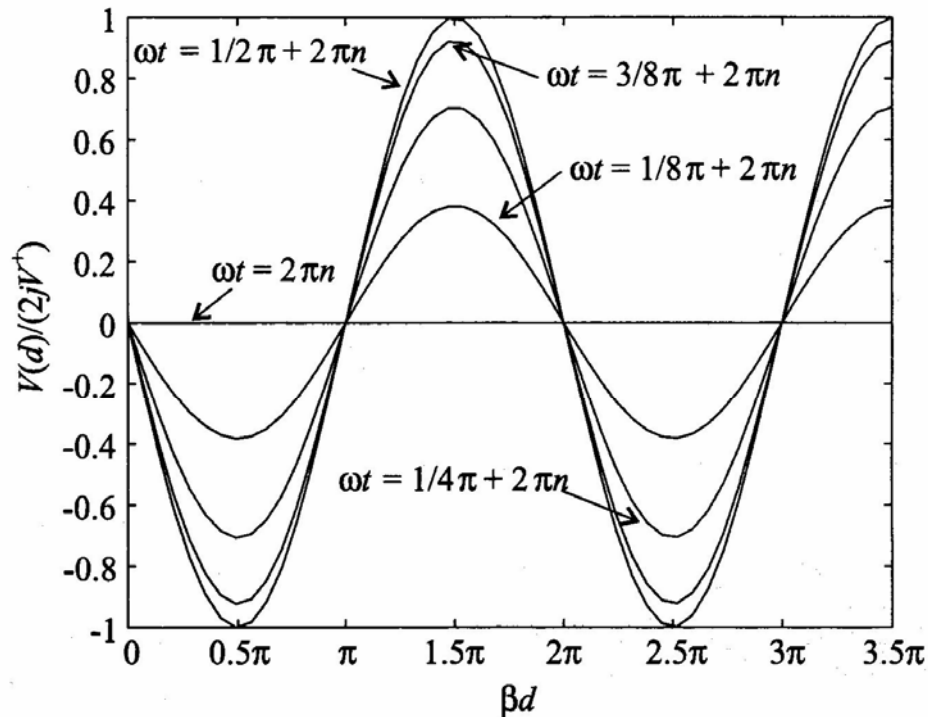


Figure 2-25 Standing wave pattern for various instances of time.

RF-kretser

- En høyfrekvens-krets kan betraktes som
 - en samling av et endelig antall **transmisjonslinje-seksjoner** forbundet med **diskrete aktive** og **passive** komponenter

To-port nettverk

- Fordelaktig med **to-port-beskrivelse**
 - Kretser kan deles opp i enkle bestanddeler
 - to-porter
 - Kan benyttes for å forenkle analysen av sammensatte nettverk
- Ulike typer to-porter
 - **Z, Y, h-matrix**
 - Hver har ulike egenskaper ved sammenkobling
 - $Z \rightarrow$ serie, $Y \rightarrow$ parallell, hybrid \rightarrow blanding
 - Figur \rightarrow

Multiport-nettverk

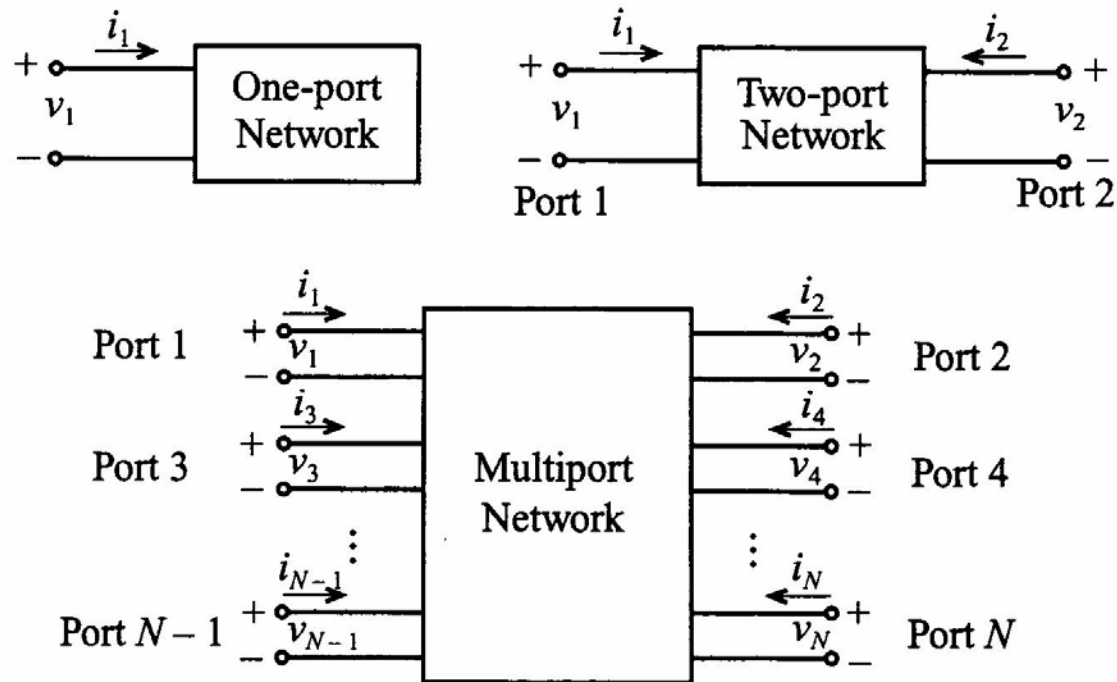


Figure 4-1 Basic voltage and current definitions for single- and multiport network.

Eks. Z-matrise

$$\begin{Bmatrix} v_1 \\ v_2 \\ \vdots \\ v_N \end{Bmatrix} = \begin{bmatrix} Z_{11} & Z_{12} & \cdots & Z_{1N} \\ Z_{21} & Z_{22} & \cdots & Z_{2N} \\ \vdots & \vdots & \ddots & \vdots \\ Z_{N1} & Z_{N2} & \cdots & Z_{NN} \end{bmatrix} \begin{Bmatrix} i_1 \\ i_2 \\ \vdots \\ i_N \end{Bmatrix} \quad (4.2)$$

$$\{\mathbf{V}\} = [\mathbf{Z}]\{\mathbf{I}\} \quad (4.3)$$

ABCD nettverk

$$\begin{Bmatrix} v_1 \\ i_1 \end{Bmatrix} = \begin{bmatrix} A & B \\ C & D \end{bmatrix} \begin{Bmatrix} v_2 \\ -i_2 \end{Bmatrix} \quad (4.10)$$

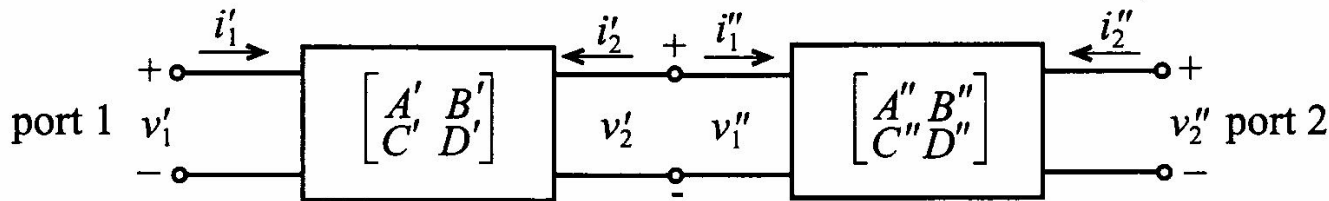


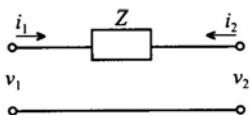
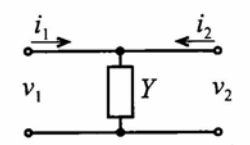
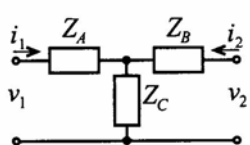
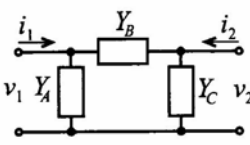
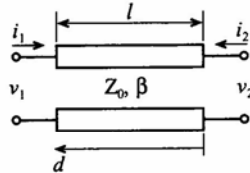
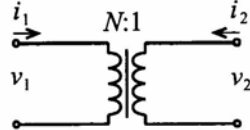
Figure 4-9 Cascading two networks.

$$\begin{aligned} \begin{Bmatrix} v_1 \\ i_1 \end{Bmatrix} &= \begin{Bmatrix} v_1' \\ i_1' \end{Bmatrix} = \begin{bmatrix} A' & B' \\ C' & D' \end{bmatrix} \begin{Bmatrix} v_2' \\ -i_2' \end{Bmatrix} = \begin{bmatrix} A' & B' \\ C' & D' \end{bmatrix} \begin{Bmatrix} v_1'' \\ i_1'' \end{Bmatrix} \\ &= \begin{bmatrix} A' & B' \\ C' & D' \end{bmatrix} \begin{bmatrix} A'' & B'' \\ C'' & D'' \end{bmatrix} \begin{Bmatrix} v_2'' \\ -i_2'' \end{Bmatrix} \end{aligned} \quad (4.21)$$

Velegnet for kaskadekobling

ABCD-parametre for "nyttige" 2-porter

Table 4-1 ABCD-Parameters of Some Useful Two-Port Circuits.

Circuit	ABCD-Parameters	
	$A = 1$ $C = 0$	$B = Z$ $D = 1$
	$A = 1$ $C = Y$	$B = 0$ $D = 1$
	$A = 1 + \frac{Z_A}{Z_C}$ $C = \frac{1}{Z_C}$	$B = Z_A + Z_B + \frac{Z_A Z_B}{Z_C}$ $D = 1 + \frac{Z_B}{Z_C}$
	$A = 1 + \frac{Y_B}{Y_C}$ $C = Y_A + Y_B + \frac{Y_A Y_B}{Y_C}$	$B = \frac{1}{Y_C}$ $D = 1 + \frac{Y_A}{Y_C}$
	$A = \cos \beta l$ $C = \frac{j \sin \beta l}{Z_0}$	$B = j Z_0 \sin \beta l$ $D = \cos \beta l$
	$A = N$ $C = 0$	$B = 0$ $D = \frac{1}{N}$

Konvertering mellom ulike 2-port realiseringer

Table 4-2 Conversion between Different Network Representations

	[Z]	[Y]	[h]	[ABCD]
[Z]	$\begin{matrix} Z_{11} & Z_{12} \\ Z_{21} & Z_{22} \end{matrix}$	$\begin{matrix} \frac{Z_{22}}{\Delta Z} & -\frac{Z_{12}}{\Delta Z} \\ -\frac{Z_{21}}{\Delta Z} & \frac{Z_{11}}{\Delta Z} \end{matrix}$	$\begin{matrix} \frac{\Delta Z}{Z_{22}} & \frac{Z_{12}}{Z_{22}} \\ -\frac{Z_{21}}{Z_{22}} & \frac{1}{Z_{22}} \end{matrix}$	$\begin{matrix} \frac{Z_{11}}{Z_{21}} & \frac{\Delta Z}{Z_{21}} \\ \frac{1}{Z_{21}} & \frac{Z_{22}}{Z_{21}} \end{matrix}$
[Y]	$\begin{matrix} \frac{Y_{22}}{\Delta Y} & -\frac{Y_{12}}{\Delta Y} \\ -\frac{Y_{21}}{\Delta Y} & \frac{Y_{11}}{\Delta Y} \end{matrix}$	$\begin{matrix} Y_{11} & Y_{12} \\ Y_{21} & Y_{22} \end{matrix}$	$\begin{matrix} \frac{1}{Y_{11}} & \frac{Y_{12}}{Y_{11}} \\ \frac{Y_{21}}{Y_{11}} & \frac{\Delta Y}{Y_{11}} \end{matrix}$	$\begin{matrix} -\frac{Y_{22}}{Y_{21}} & -\frac{1}{Y_{21}} \\ \frac{\Delta Y}{Y_{21}} & \frac{Y_{11}}{Y_{21}} \end{matrix}$
[h]	$\begin{matrix} \frac{\Delta h}{h_{22}} & \frac{h_{12}}{h_{22}} \\ -\frac{h_{21}}{h_{22}} & \frac{1}{h_{22}} \end{matrix}$	$\begin{matrix} \frac{1}{h_{11}} & \frac{h_{12}}{h_{11}} \\ \frac{h_{21}}{h_{11}} & \frac{\Delta h}{h_{11}} \end{matrix}$	$\begin{matrix} h_{11} & h_{12} \\ h_{21} & h_{22} \end{matrix}$	$\begin{matrix} -\frac{\Delta h}{h_{21}} & \frac{h_{11}}{h_{21}} \\ \frac{h_{22}}{h_{21}} & -\frac{1}{h_{21}} \end{matrix}$
[ABCD]	$\begin{matrix} \frac{A}{C} & \frac{\Delta ABCD}{C} \\ \frac{1}{C} & \frac{D}{C} \end{matrix}$	$\begin{matrix} \frac{D}{B} & \frac{\Delta ABCD}{B} \\ -\frac{1}{B} & \frac{A}{B} \end{matrix}$	$\begin{matrix} \frac{B}{D} & \frac{\Delta ABCD}{D} \\ -\frac{1}{D} & \frac{C}{D} \end{matrix}$	$\begin{matrix} A & B \\ C & D \end{matrix}$

S-parametre

- 2-port benyttes for definisjon av S-parametre
- "Power waves" defineres som

$$a_n = \frac{1}{2\sqrt{Z_0}}(V_n + Z_0 I_n) \quad (4.36a)$$

$$b_n = \frac{1}{2\sqrt{Z_0}}(V_n - Z_0 I_n) \quad (4.36b)$$

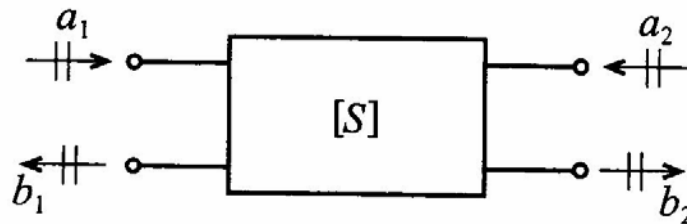


Figure 4-14 Convention used to define S-parameters for a two-port network.

Definisjon av S-parametrene

- Beregninger viser at effekten (power) blir:

$$P_n = \frac{1}{2} \operatorname{Re}\{V_n I_n^*\} = \frac{1}{2} (|a_n|^2 - |b_n|^2)$$

S-parametre

$$\begin{Bmatrix} b_1 \\ b_2 \end{Bmatrix} = \begin{bmatrix} S_{11} & S_{12} \\ S_{21} & S_{22} \end{bmatrix} \begin{Bmatrix} a_1 \\ a_2 \end{Bmatrix} \quad (4.41)$$

Hva hver enkelt S-parameter betyr

$$S_{11} = \left. \frac{b_1}{a_1} \right|_{a_2=0} \equiv \frac{\text{reflected power wave at port 1}}{\text{incident power wave at port 1}} \quad (4.42a)$$

$$S_{21} = \left. \frac{b_2}{a_1} \right|_{a_2=0} \equiv \frac{\text{transmitted power wave at port 2}}{\text{incident power wave at port 1}} \quad (4.42b)$$

$$S_{22} = \left. \frac{b_2}{a_2} \right|_{a_1=0} \equiv \frac{\text{reflected power wave at port 2}}{\text{incident power wave at port 2}} \quad (4.42c)$$

$$S_{12} = \left. \frac{b_1}{a_2} \right|_{a_1=0} \equiv \frac{\text{transmitted power wave at port 1}}{\text{incident power wave at port 2}} \quad (4.42d)$$

Måling av S-parametre

- S-parametrene måles når linjene er **terminert** med sin **karakteristiske impedans**

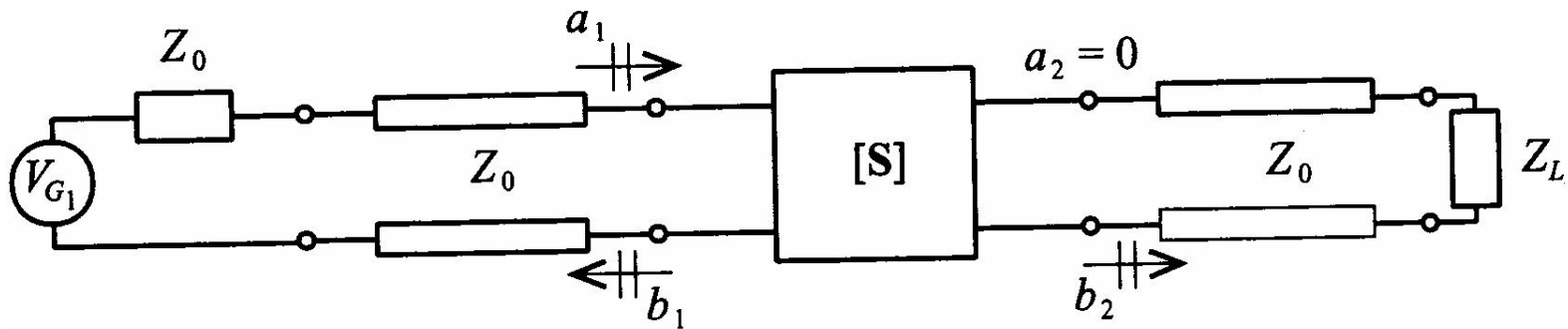


Figure 4-15 Measurement of S_{11} and S_{21} by matching the line impedance Z_0 at port 2 through a corresponding load impedance $Z_L = Z_0$.

Filtre

- Ulike filtertyper

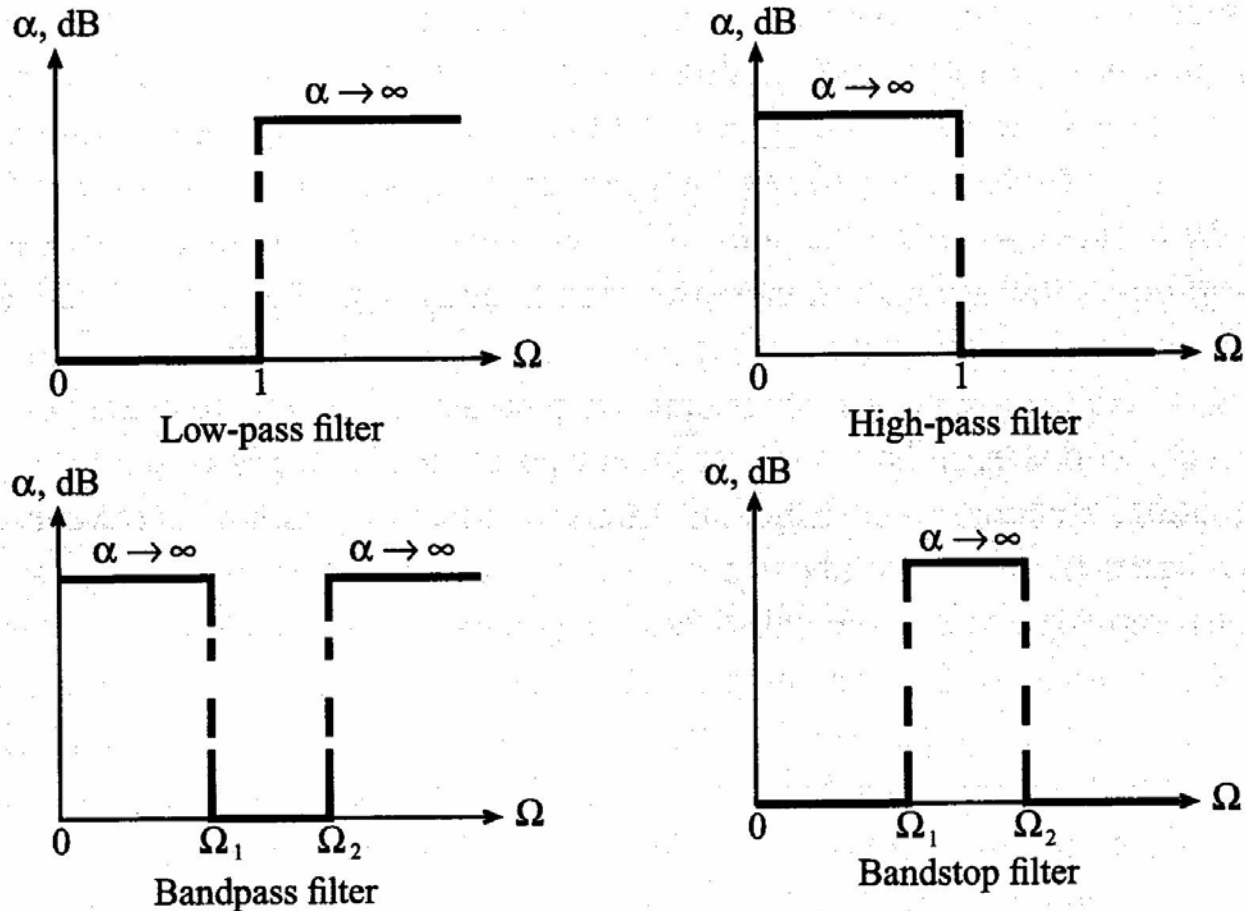


Figure 5-1 Four basic filter types.

Eks. på 3 ulike filtertyper

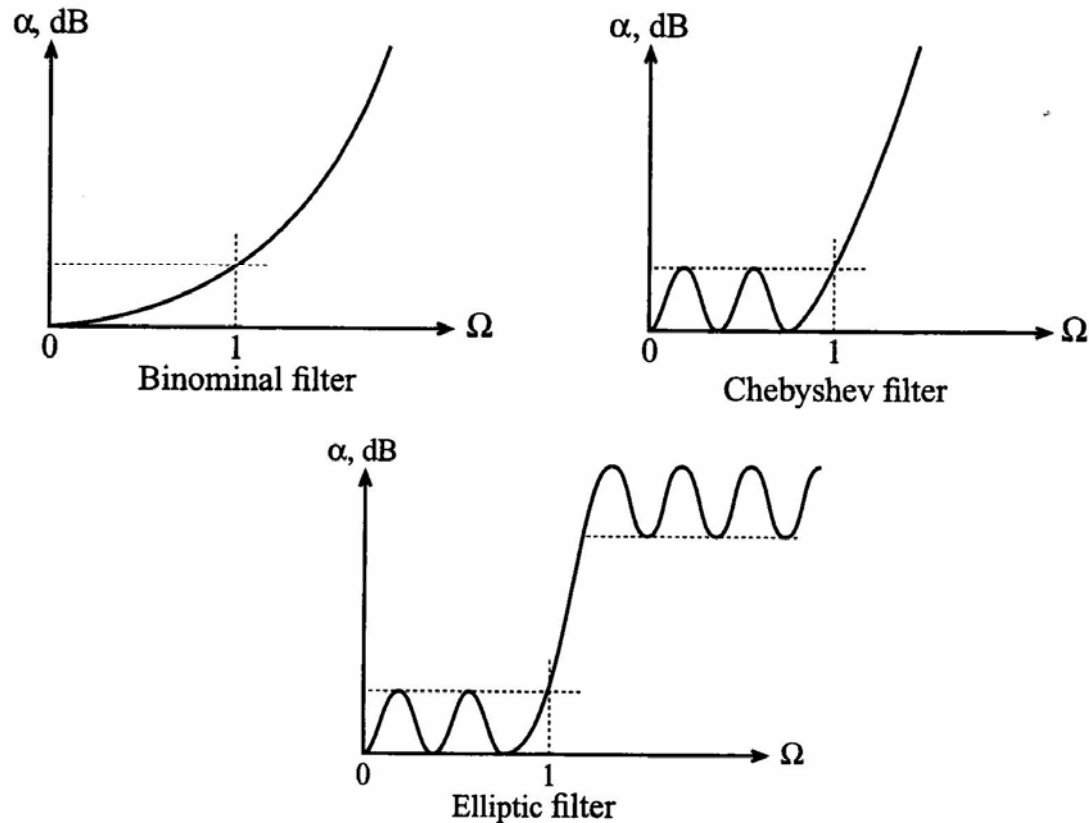


Figure 5-2 Actual attenuation profile for three types of low-pass filters.

Ulike betegnelser, begreper

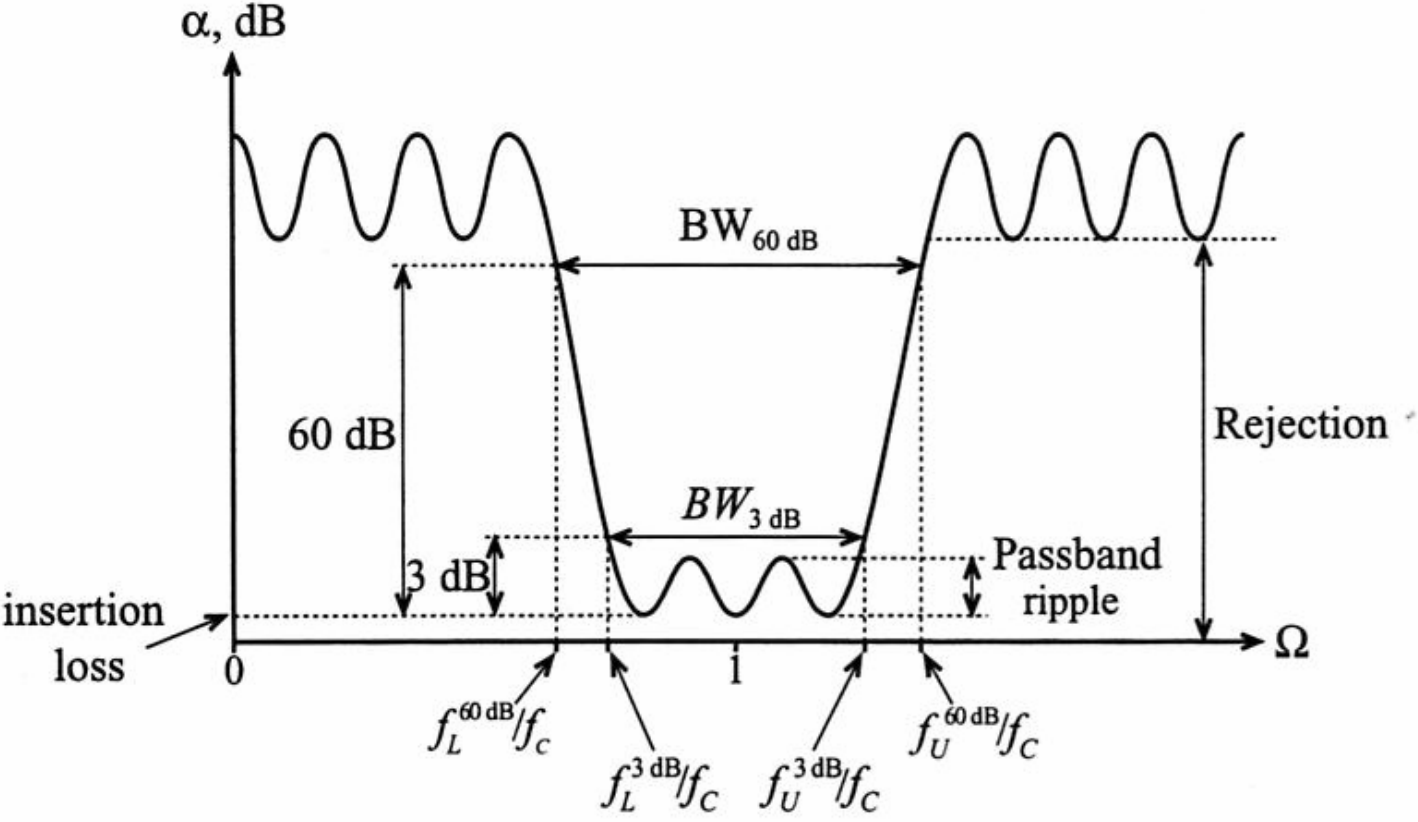


Figure 5-3 Generic attenuation profile for a bandpass filter.

Q-faktor

- Definisjon av **Q-faktor**

$$Q = \omega \left. \frac{\text{average stored energy}}{\text{energy loss per cycle}} \right|_{\omega = \omega_c} = \omega \left. \frac{\text{average stored energy}}{\text{power loss}} \right|_{\omega = \omega_c} = \omega \left. \frac{W_{\text{stored}}}{P_{\text{loss}}} \right|_{\omega = \omega_c} \quad (5.4)$$

- Det finnes ulike definisjoner av Q-faktor
 - Definisjonene er ekvivalente

$$Q_{LD} = \frac{f_c}{f_U^{3\text{dB}} - f_L^{3\text{dB}}} \equiv \frac{f_c}{BW^{3\text{dB}}}$$

Unloaded – loaded Q

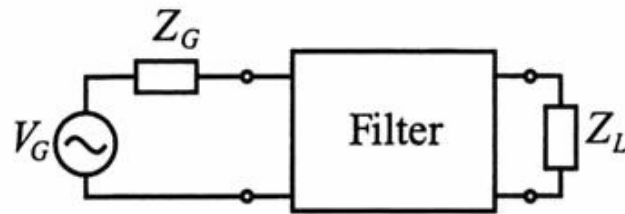


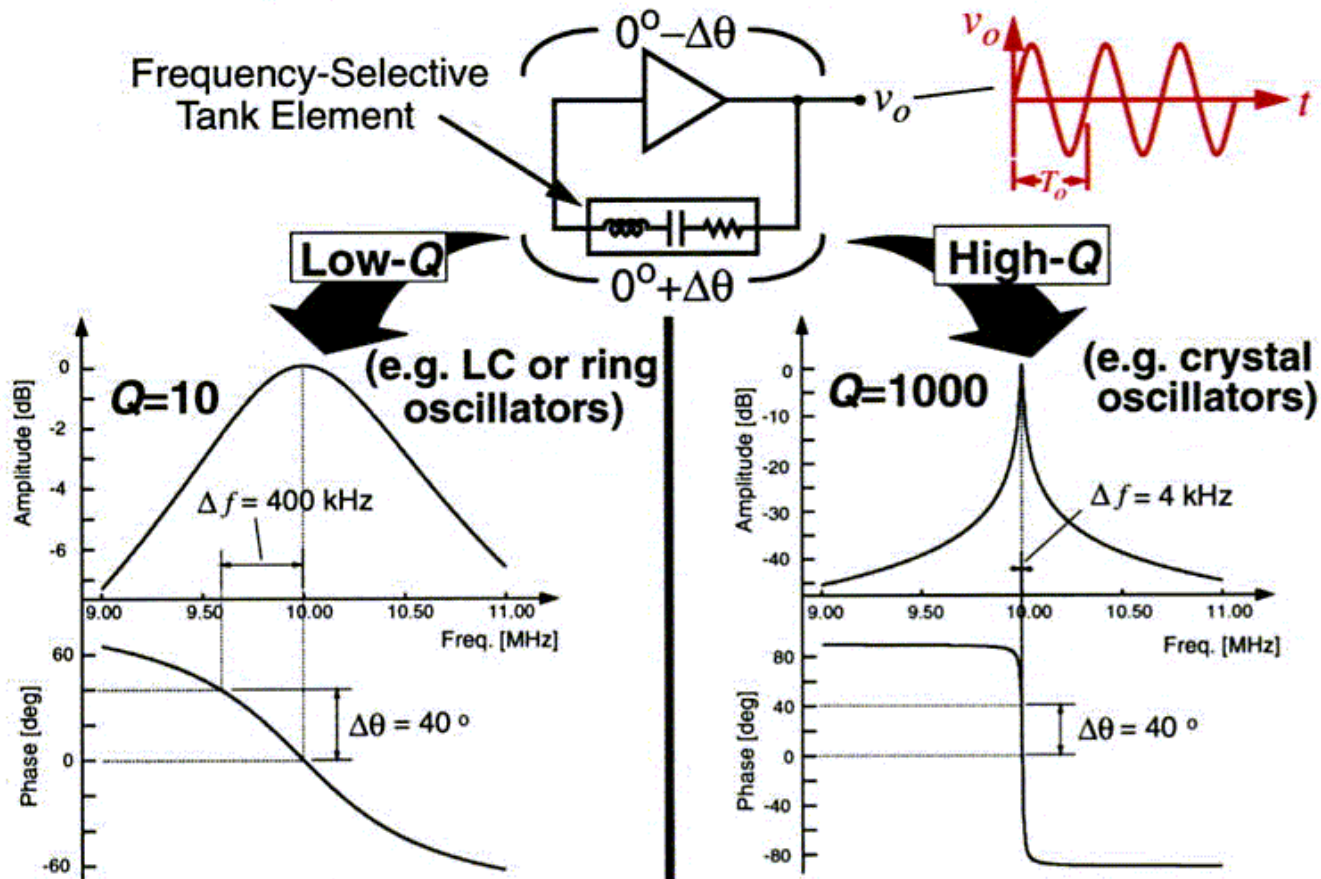
Figure 5-4 Filter as a two-port network connected to an RF source and load.

$$\frac{1}{Q_{LD}} = \frac{1}{\omega} \left(\frac{\text{power loss in filter}}{\text{average stored energy}} \right) \Bigg|_{\omega = \omega_r} + \frac{1}{\omega} \left(\frac{\text{power loss in load}}{\text{average stored energy}} \right) \Bigg|_{\omega = \omega_r} \quad (5.5)$$

$$\frac{1}{Q_{LD}} = \frac{1}{Q_F} + \frac{1}{Q_E}$$

Hva Q-faktoren betyr i praksis for stabilitet

Achieving High Oscillator Stability



- High tank $Q \Rightarrow$ high frequency stability